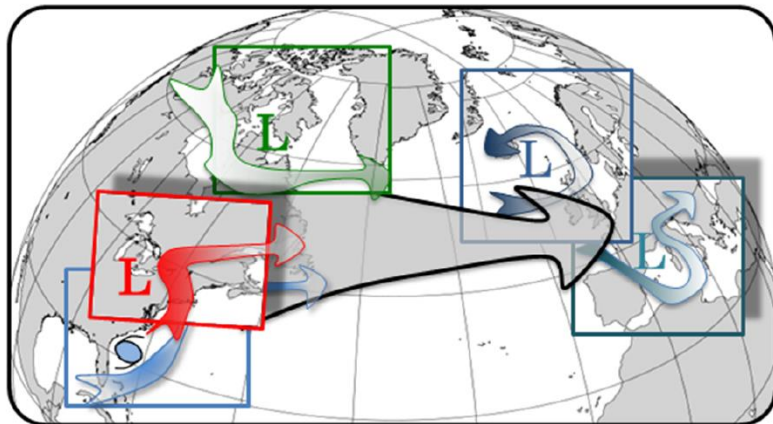


Première Analyse de la campagne NAWDEX

North Atlantic Waveguide Downstream Impact Experiment

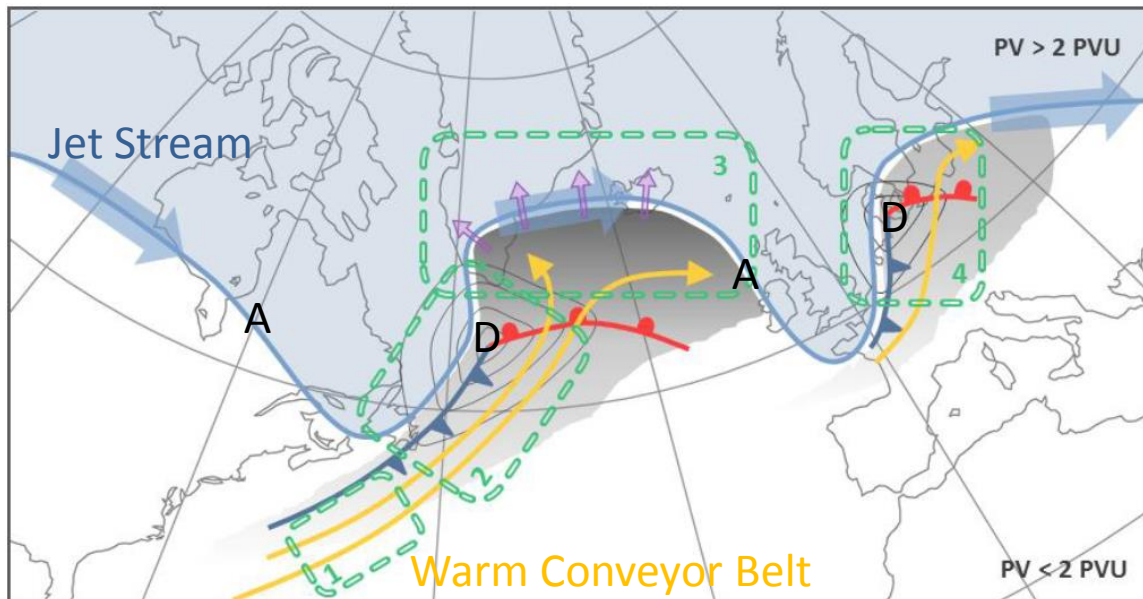


Meryl WIMMER
M2 SOAC - DC

Encadrants de stage :

- Philippe ARBOGAST, CNRM
- Gwendal RIVIERE, LMD

Etude des Processus diabatiques



- Processus diabatiques
- chaleur sensible,
 - chaleur latente,
 - rayonnement,
 - turbulence

Schäfler et al, 2018

Etude des processus diabatiques dans la Warm Conveyor Belt et l'effet sur le Jet Stream et les anticyclones d'altitude

NAWDEX



North Atlantic Waveguide Downstream Impact Experiment

- Initié par THORPEX
- Projet international
- Campagne de mesure en automne 2016
- Plateforme RASTA : lidar, radar et radiomètre



Falcon 20



Problématique

But du stage : Etudier l'effet des différents schémas de convection dans le modèle ARPEGE sur la WCB d'une dépression creuse

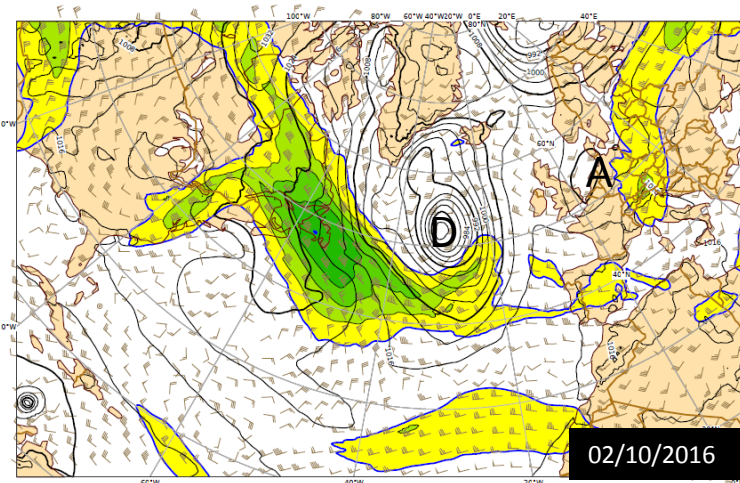
Etude des processus diabatiques dans la Warm Conveyor Belt

Cas d'une dépression creuse : 02/10/2016

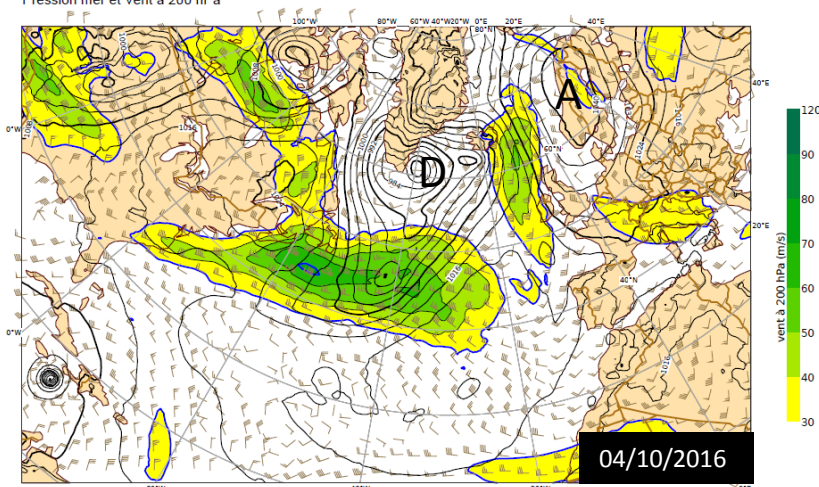
2 versions d'ARPEGE

- Version opérationnelle de 2016 : Run0
- Version avec schéma de convection PCMT : Run6

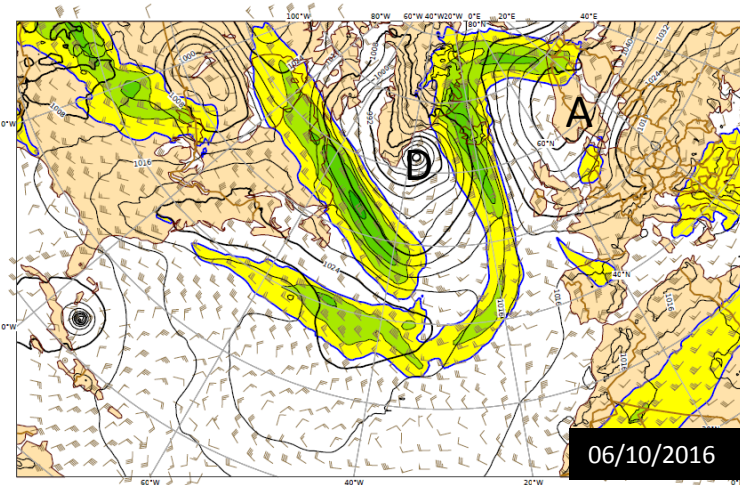
Dimanche 2 Octobre 2016 00UTC - Prevision Arpege t+0h: Dimanche 2 Octobre 2016 00UTC
Pression mer et Vent à 200 hPa



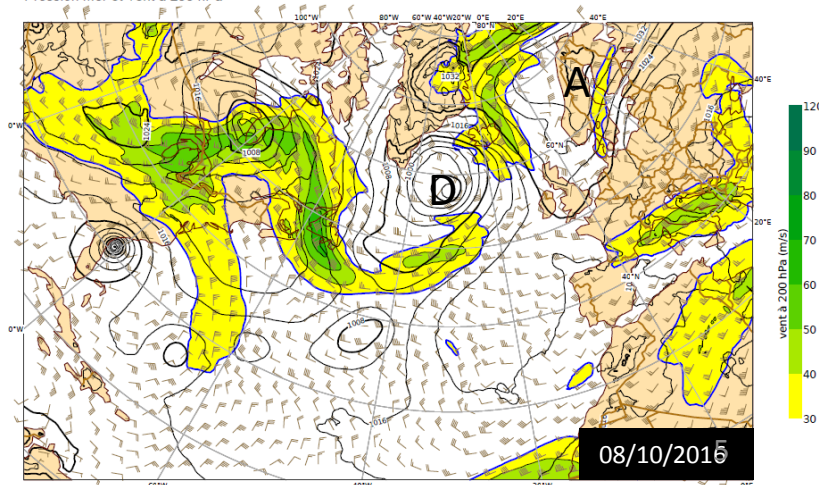
Mardi 4 Octobre 2016 00UTC - Prevision Arpege t+0h: Mardi 4 Octobre 2016 00UTC
Pression mer et Vent à 200 hPa



Jeudi 6 Octobre 2016 00UTC - Prevision Arpege t+0h: Jeudi 6 Octobre 2016 00UTC
Pression mer et Vent à 200 hPa

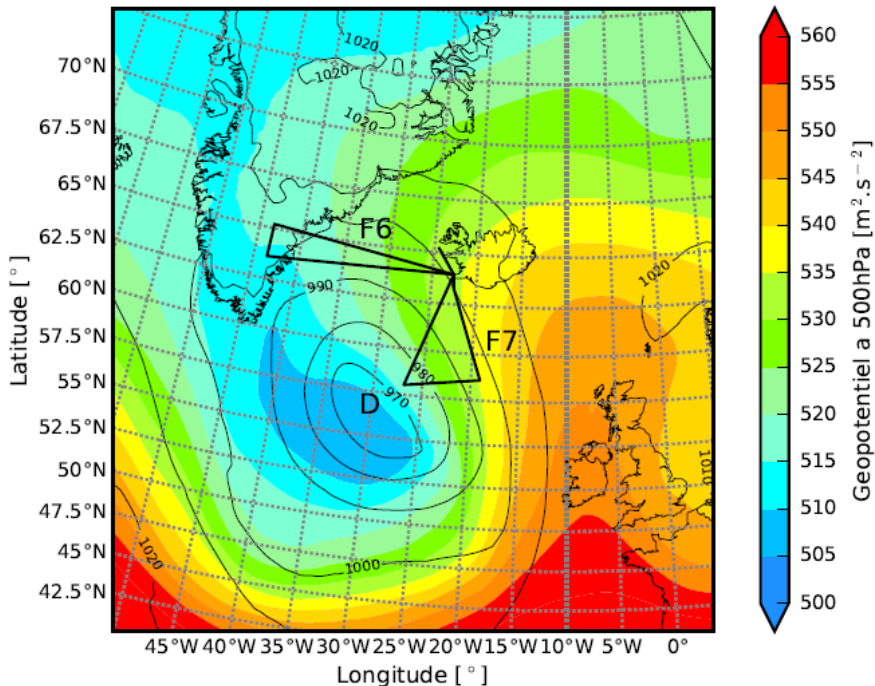


Samedi 8 Octobre 2016 00UTC - Prevision Arpege t+0h: Samedi 8 Octobre 2016 00UTC
Pression mer et Vent à 200 hPa

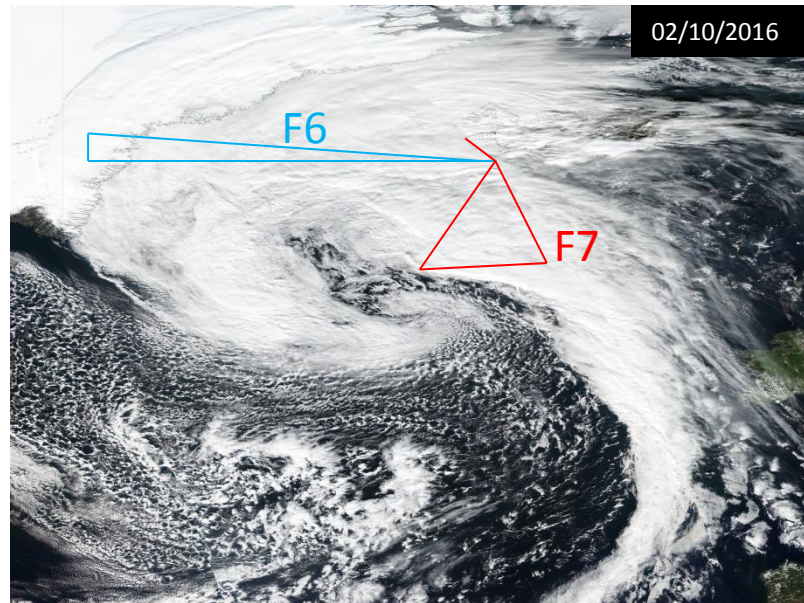


Situation météorologique

Carte de géopotential à 500 hPa et pression au niveau de la mer



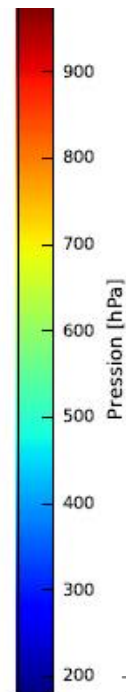
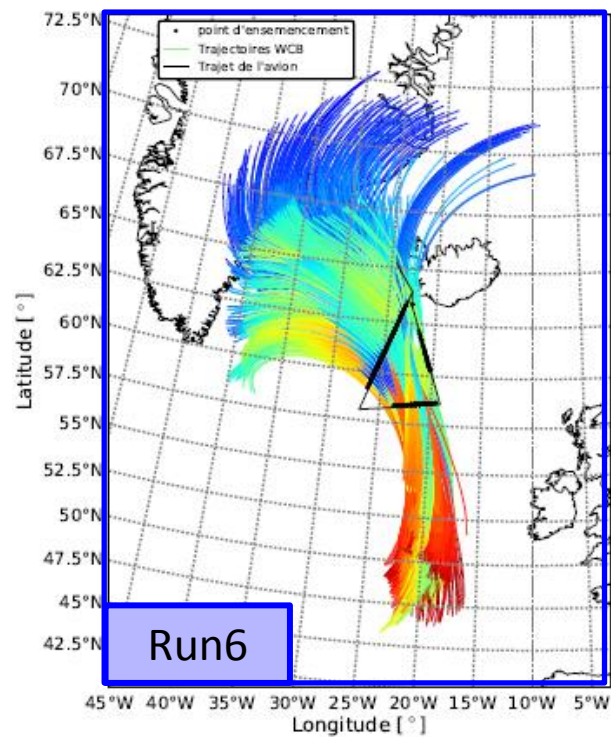
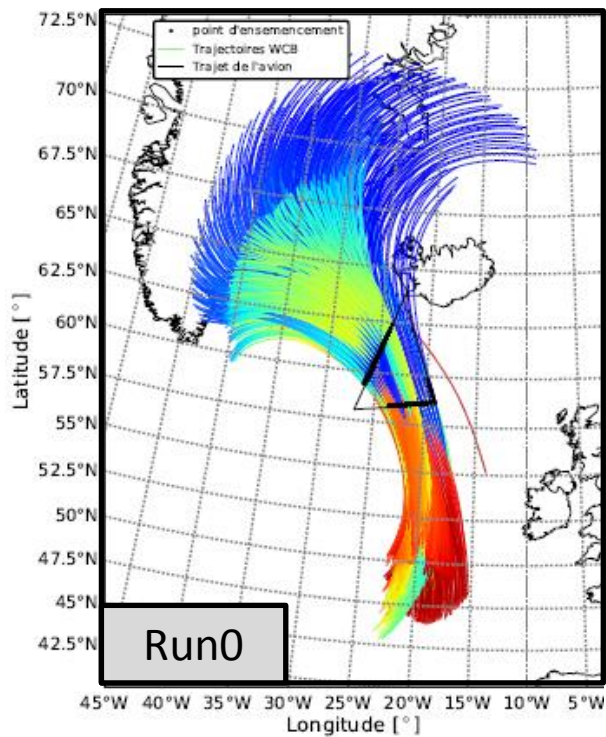
Analyse ARPEGE, du 02/10/2016 à 12h



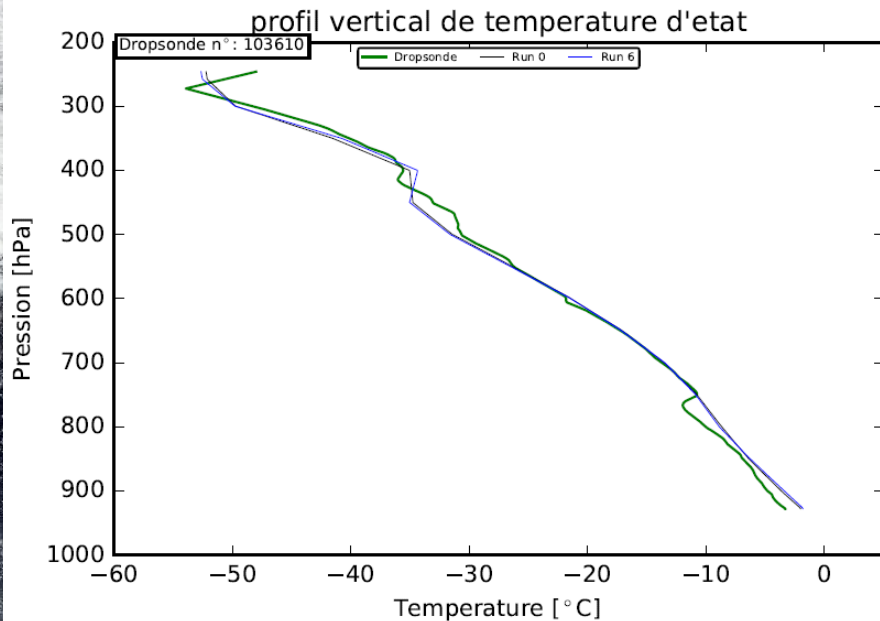
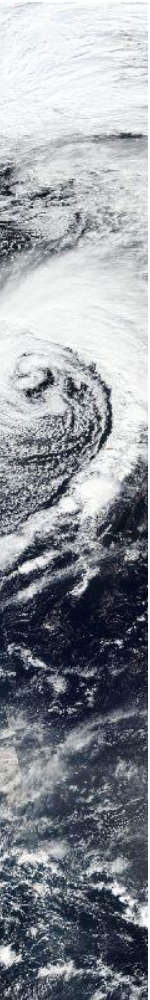
MODIS, Nasa Worldview Application

Warm Conveyor Belt – vol F7

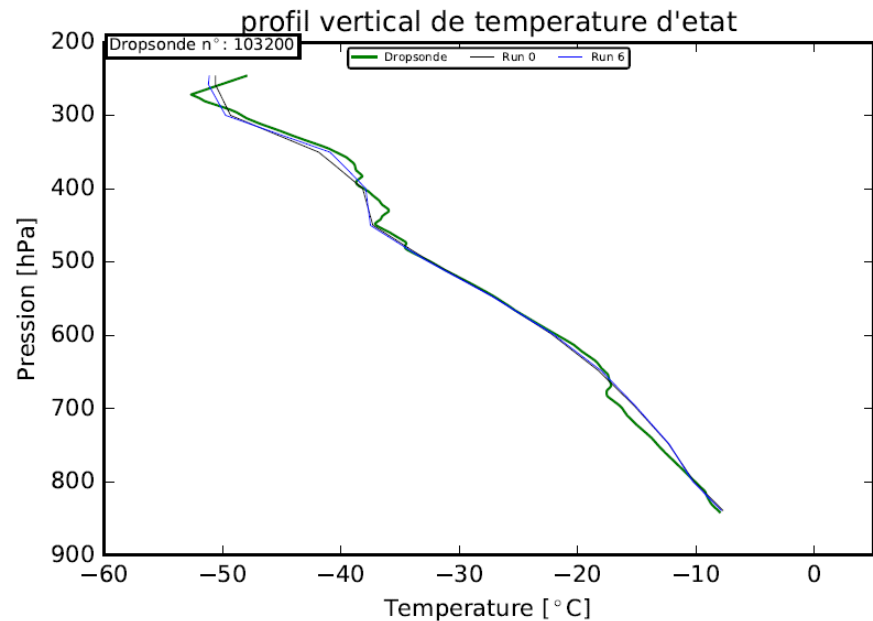
Critère : -300 hPa en 24h



Dropsondes – vol F6



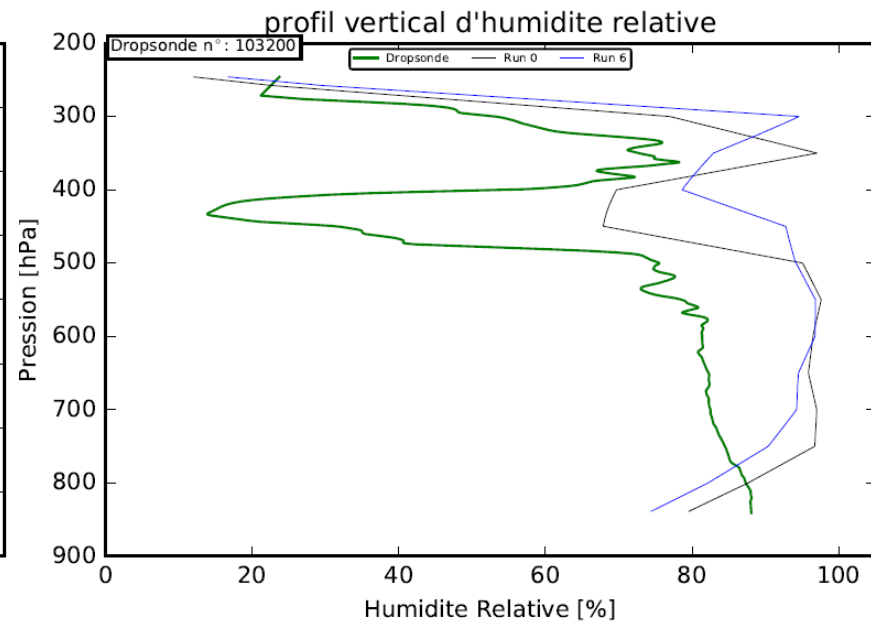
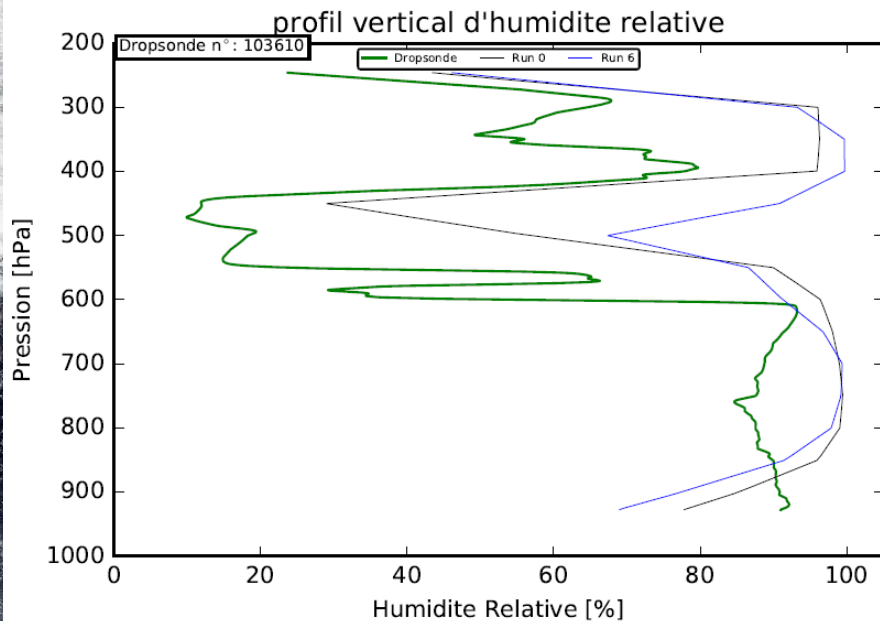
Mesures in situ



Run0

Run6

Dropsondes – vol F6

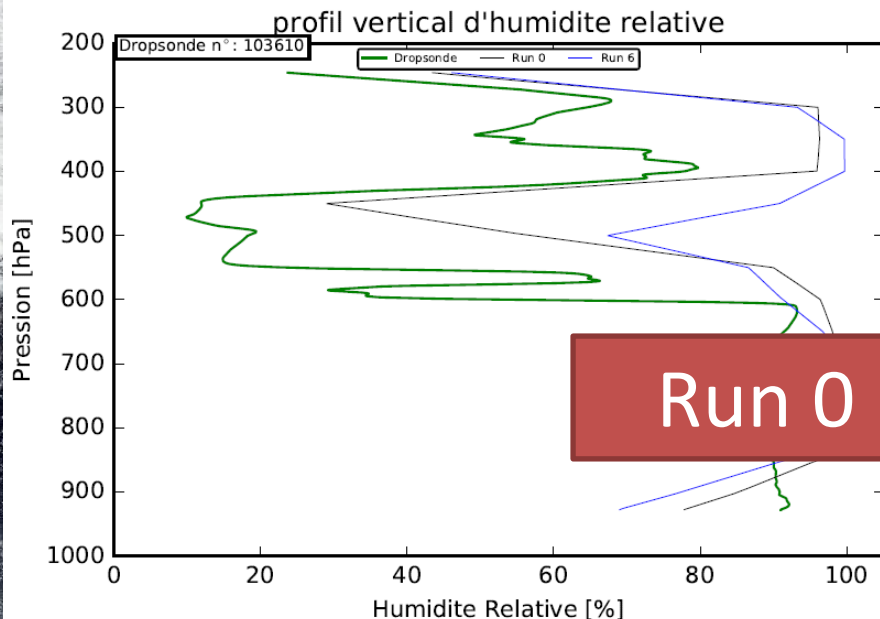


Mesures in situ

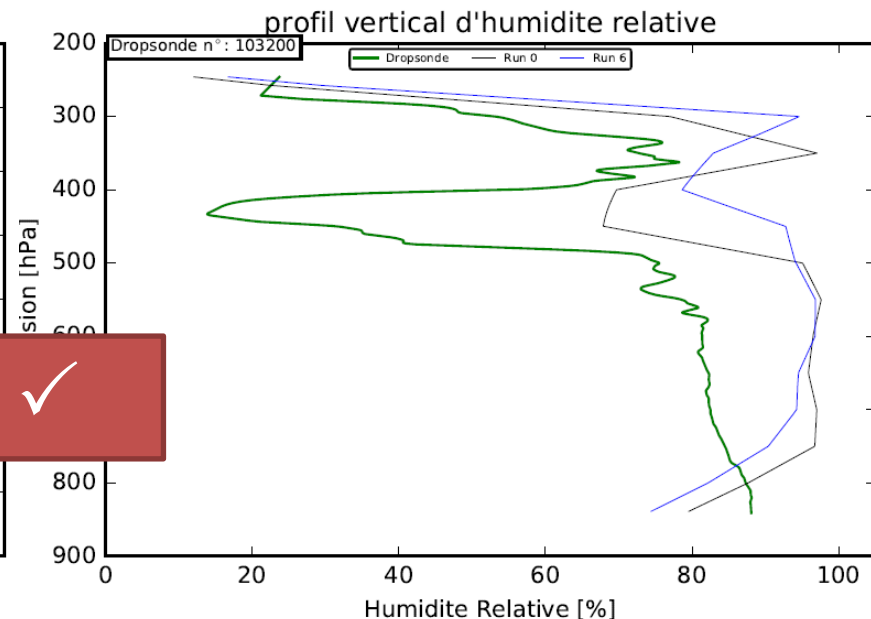
Run0

Run6

Dropsondes – vol F6



Run 0 ✓



Mesures in situ

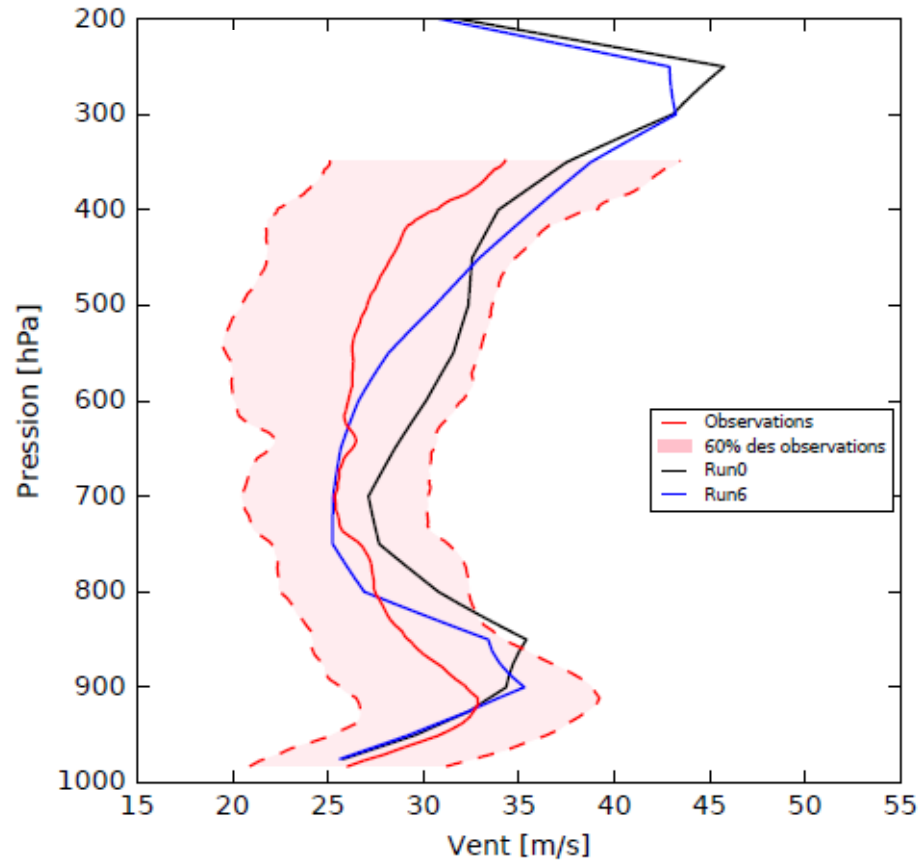
Run0

Run6



Vol F7

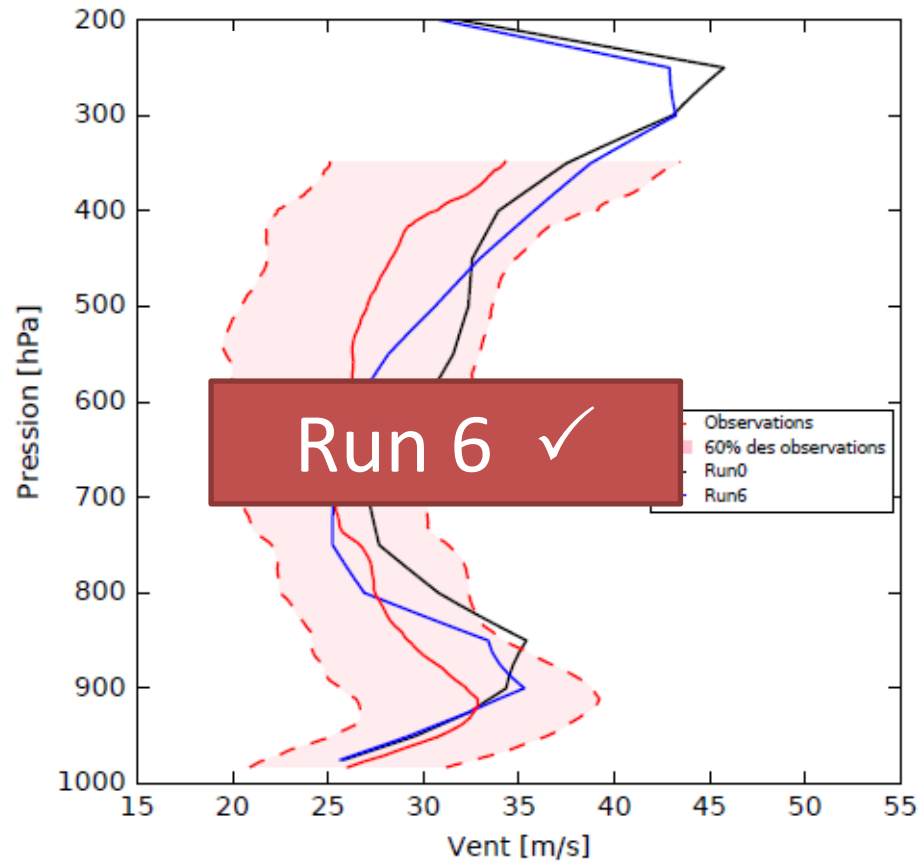
Radar – volF7





Vol F7

Radar – volF7



Validation du modèle de trajectoires : $\int \dot{\theta} dt \approx \Delta\theta$

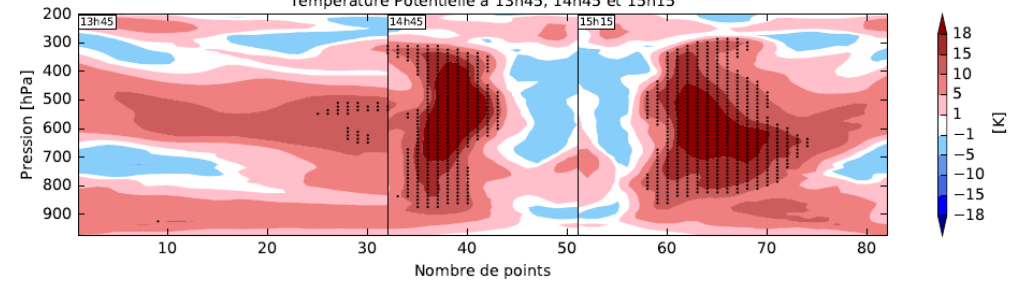
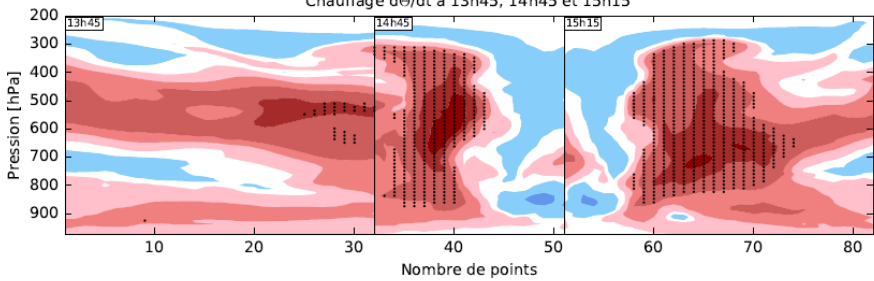
Run0

$$\int \dot{\theta} dt$$

$$\Delta\theta$$

Coupe verticale de l'integrale sur la trajectoire de Chauffage $d\theta/dt$ a 13h45, 14h45 et 15h15

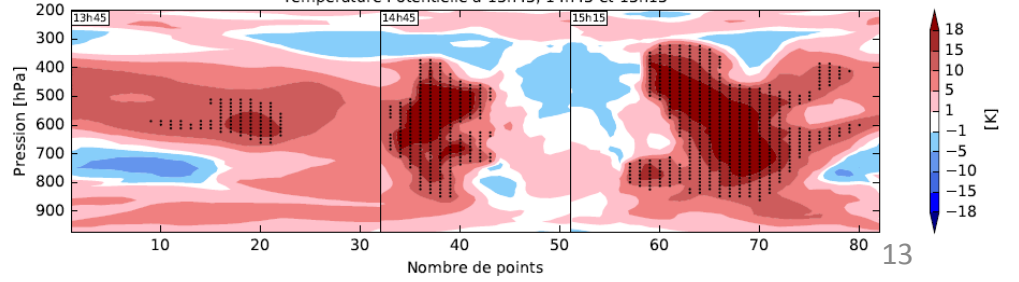
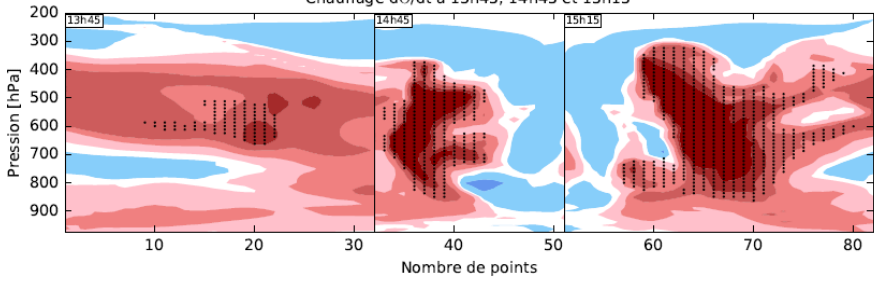
Coupe verticale de la difference entre le debut et la fin des trajectoires de Temperature Potentielle a 13h45, 14h45 et 15h15



Run6

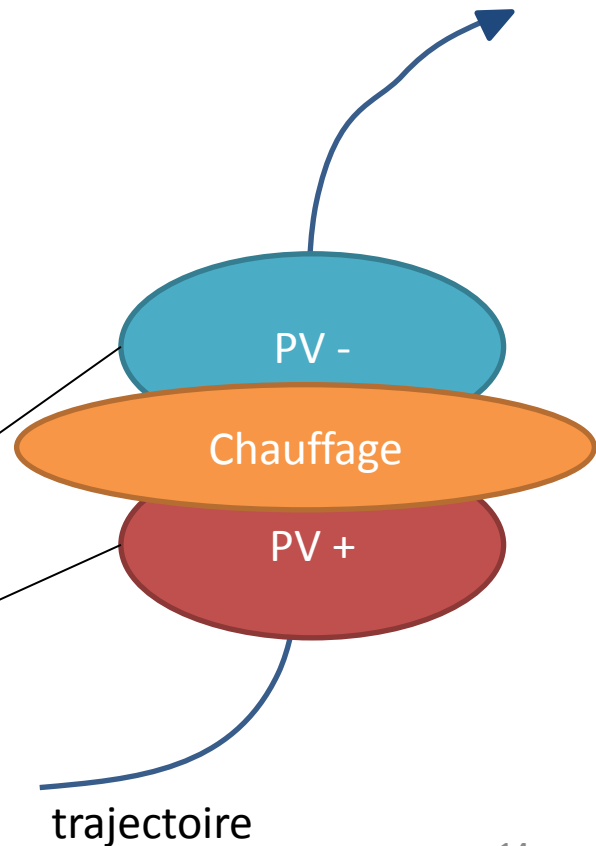
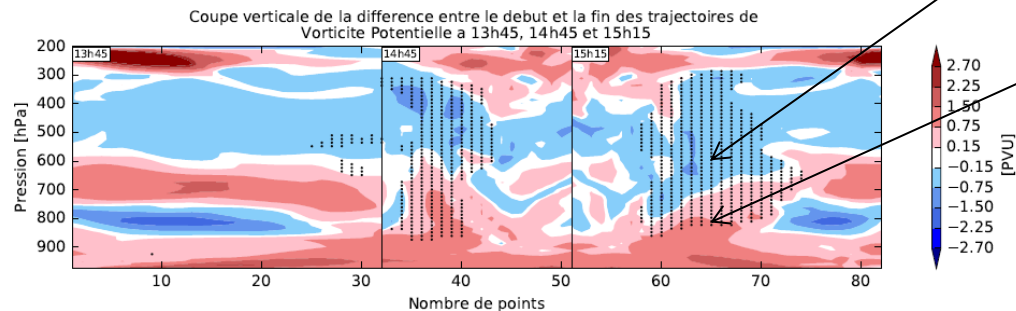
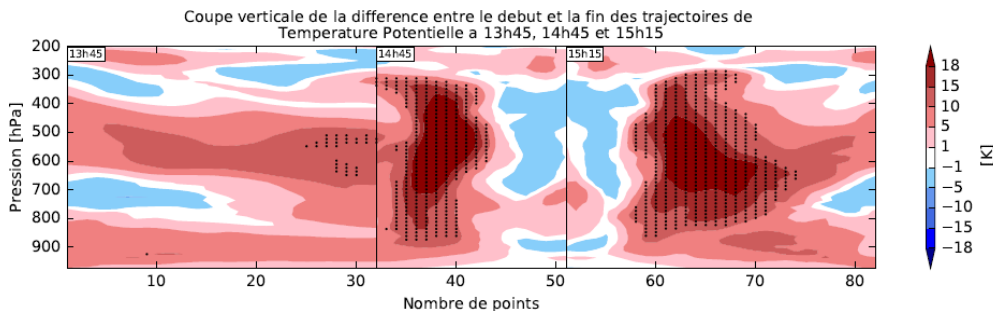
Coupe verticale de l'integrale sur la trajectoire de Chauffage $d\theta/dt$ a 13h45, 14h45 et 15h15

Coupe verticale de la difference entre le debut et la fin des trajectoires de Temperature Potentielle a 13h45, 14h45 et 15h15



Lien chauffage-PV

Run0

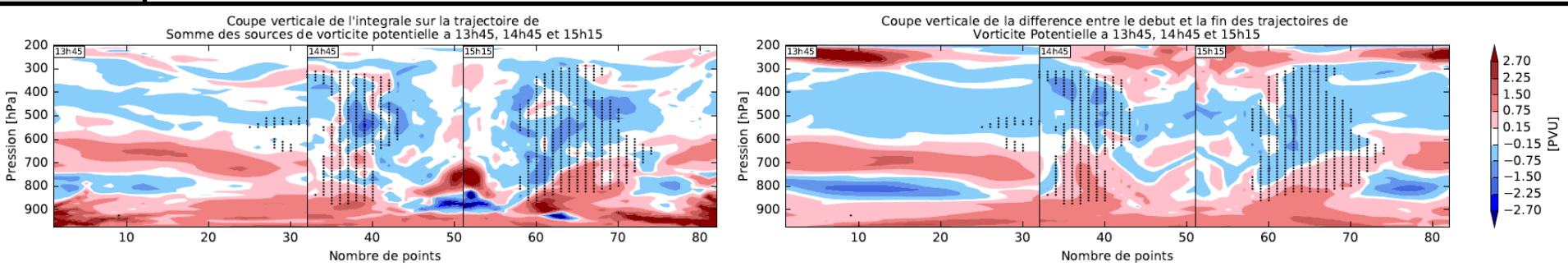


Validation du modèle de trajectoires : $\int \dot{P}V dt \approx \Delta PV$

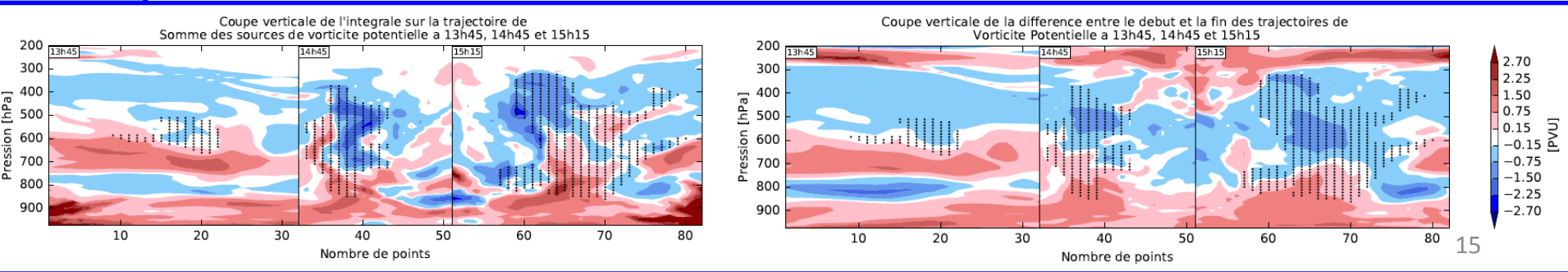
Run0

$$\int \dot{P}V dt$$

$$\Delta PV$$



Run6

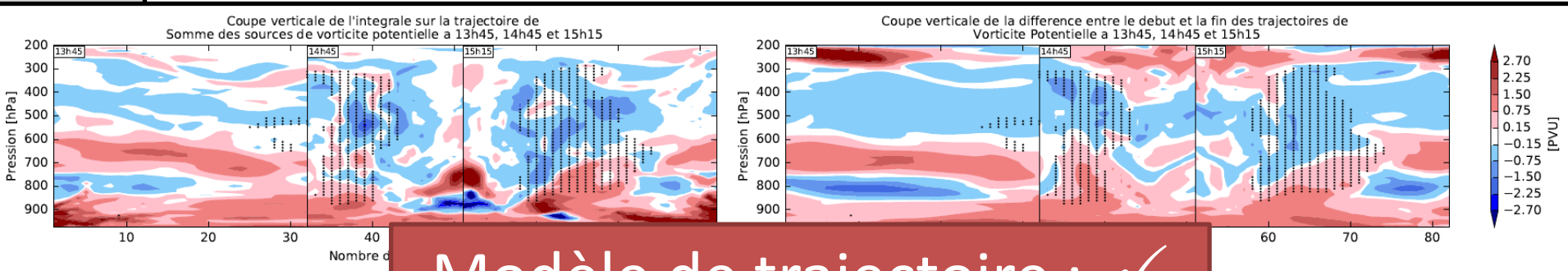


Validation du modèle de trajectoires : $\int \dot{P}V dt \approx \Delta PV$

Run0

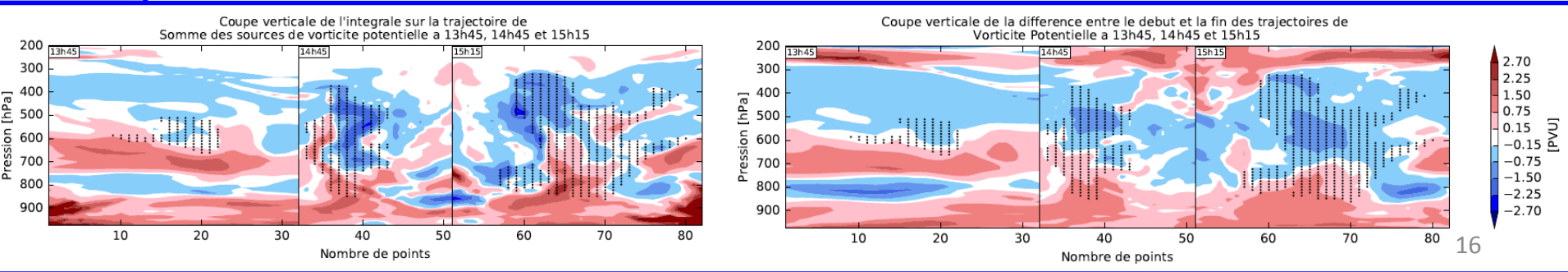
$$\int \dot{P}V dt$$

ΔPV

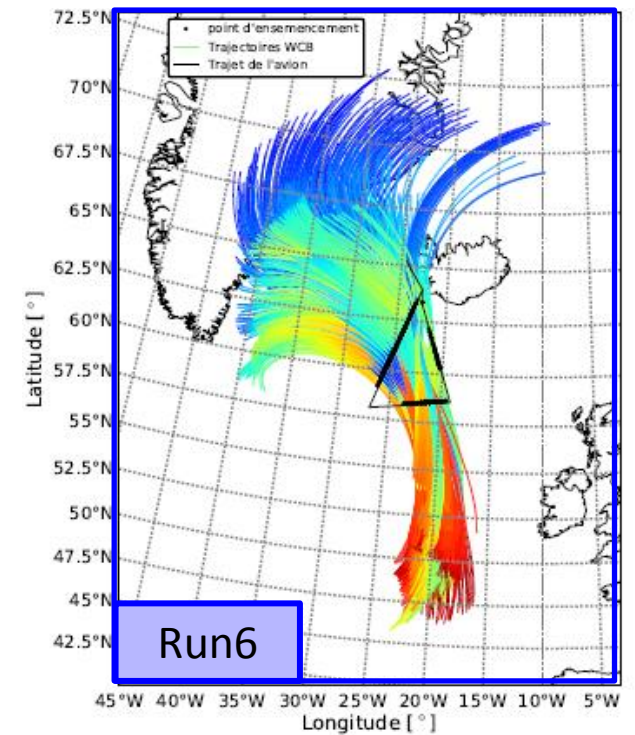
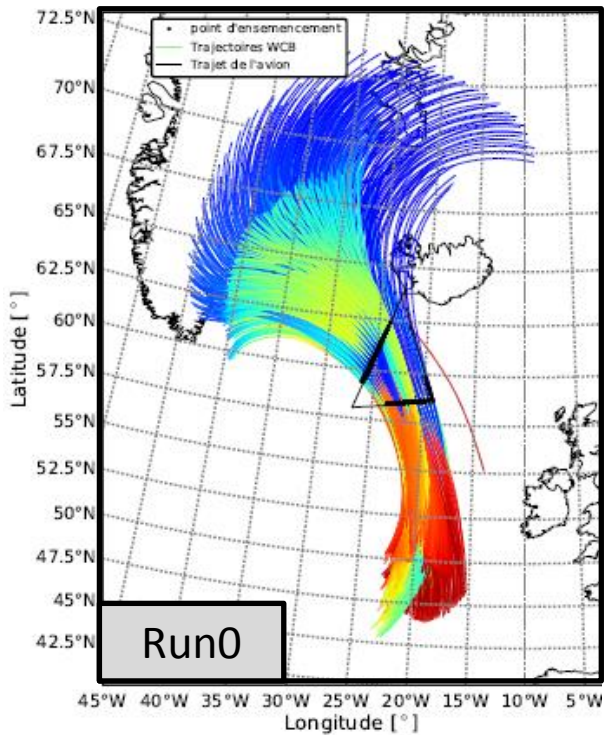


Modèle de trajectoire : ✓

Run6



Etude des processus diabatiques

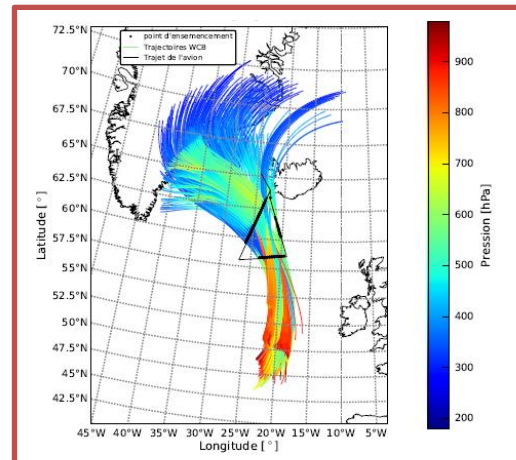
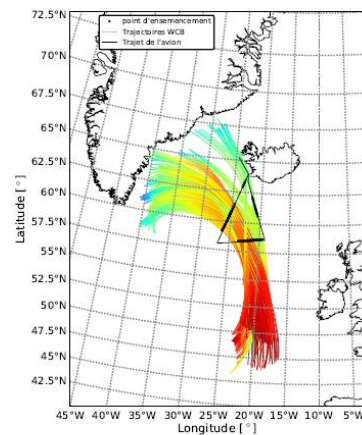
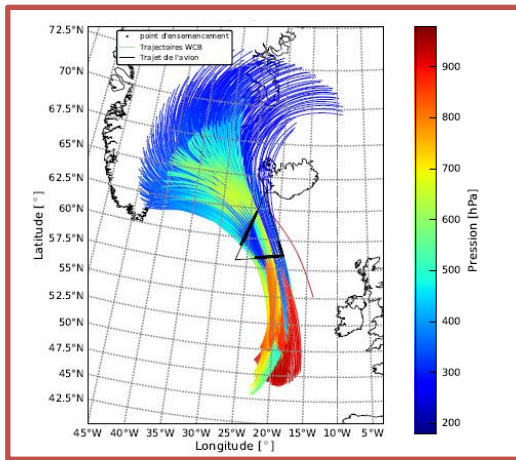
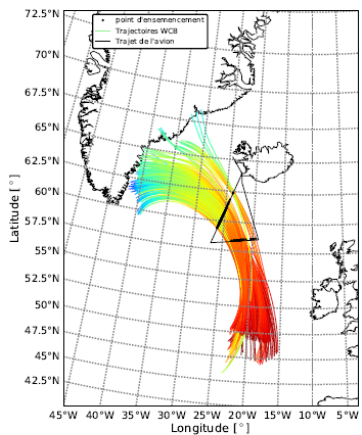


Trajectoires Cycloniques/Anticycloniques

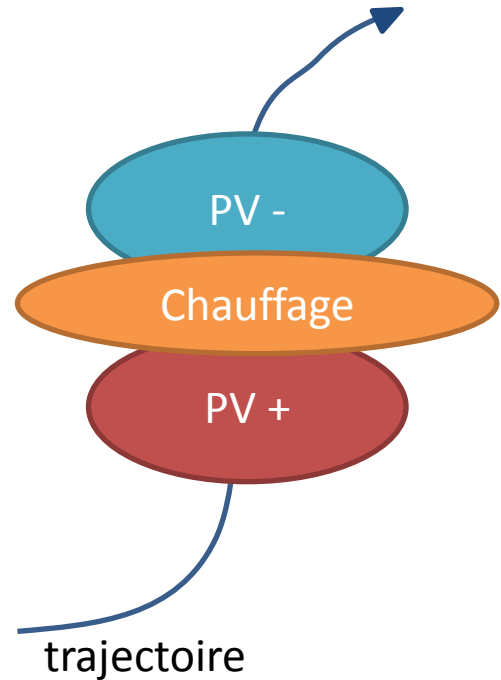
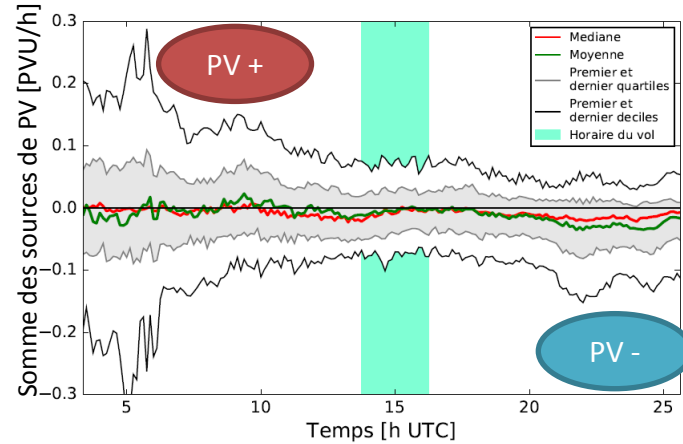
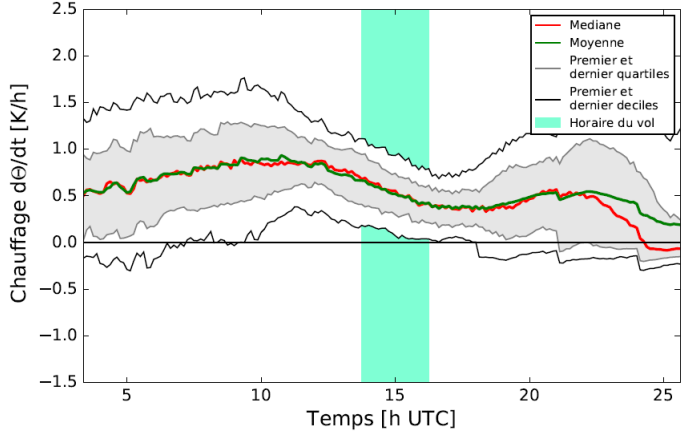


Run0

Run6



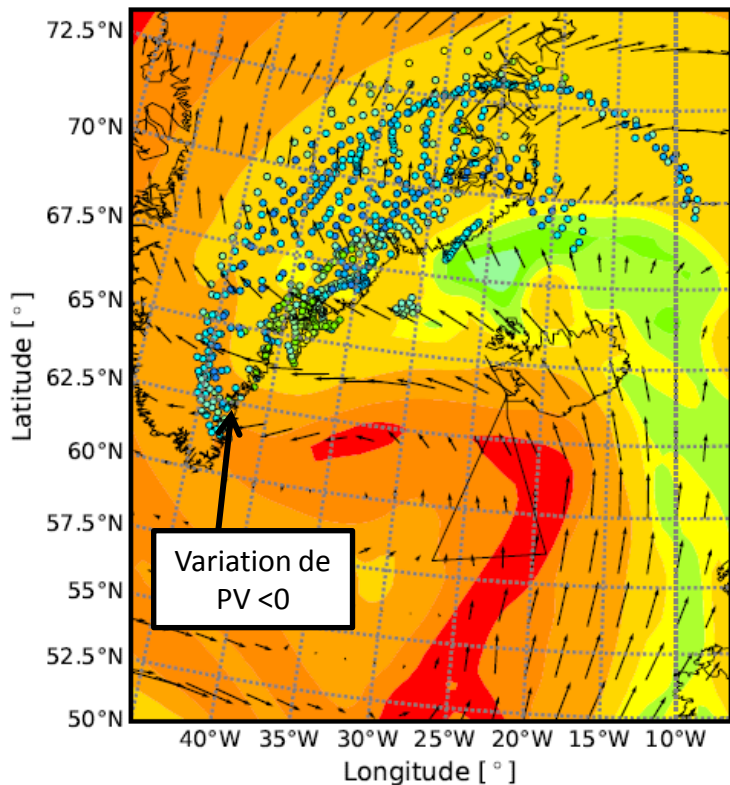
Effet du chauffage sur le PV



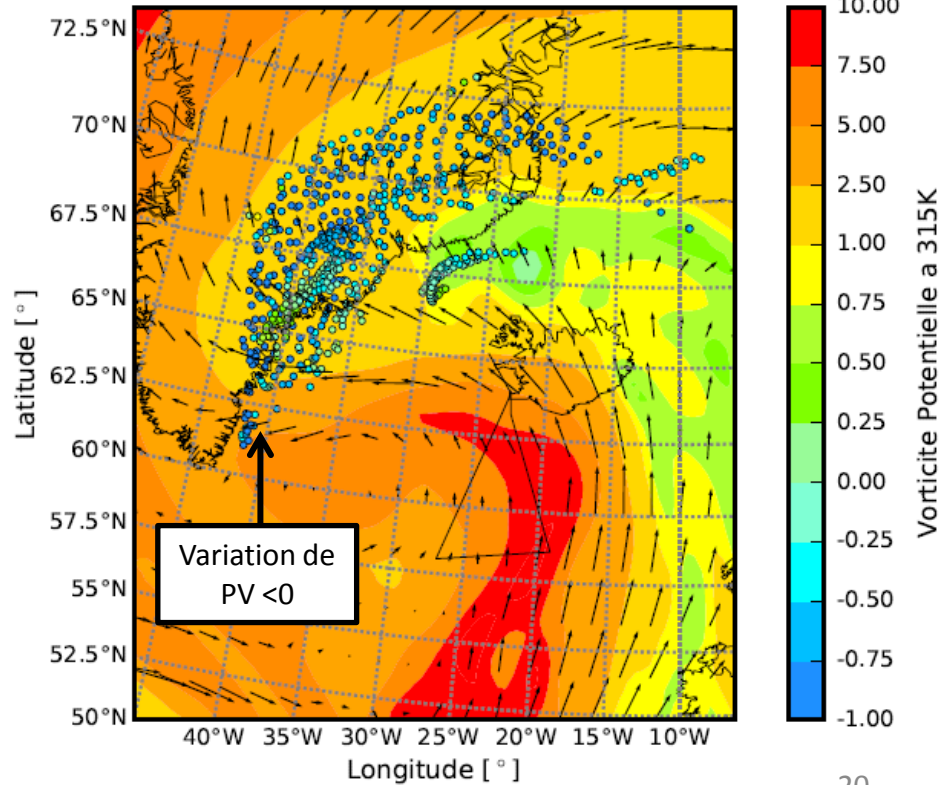
Variation de PV au bout de 24h



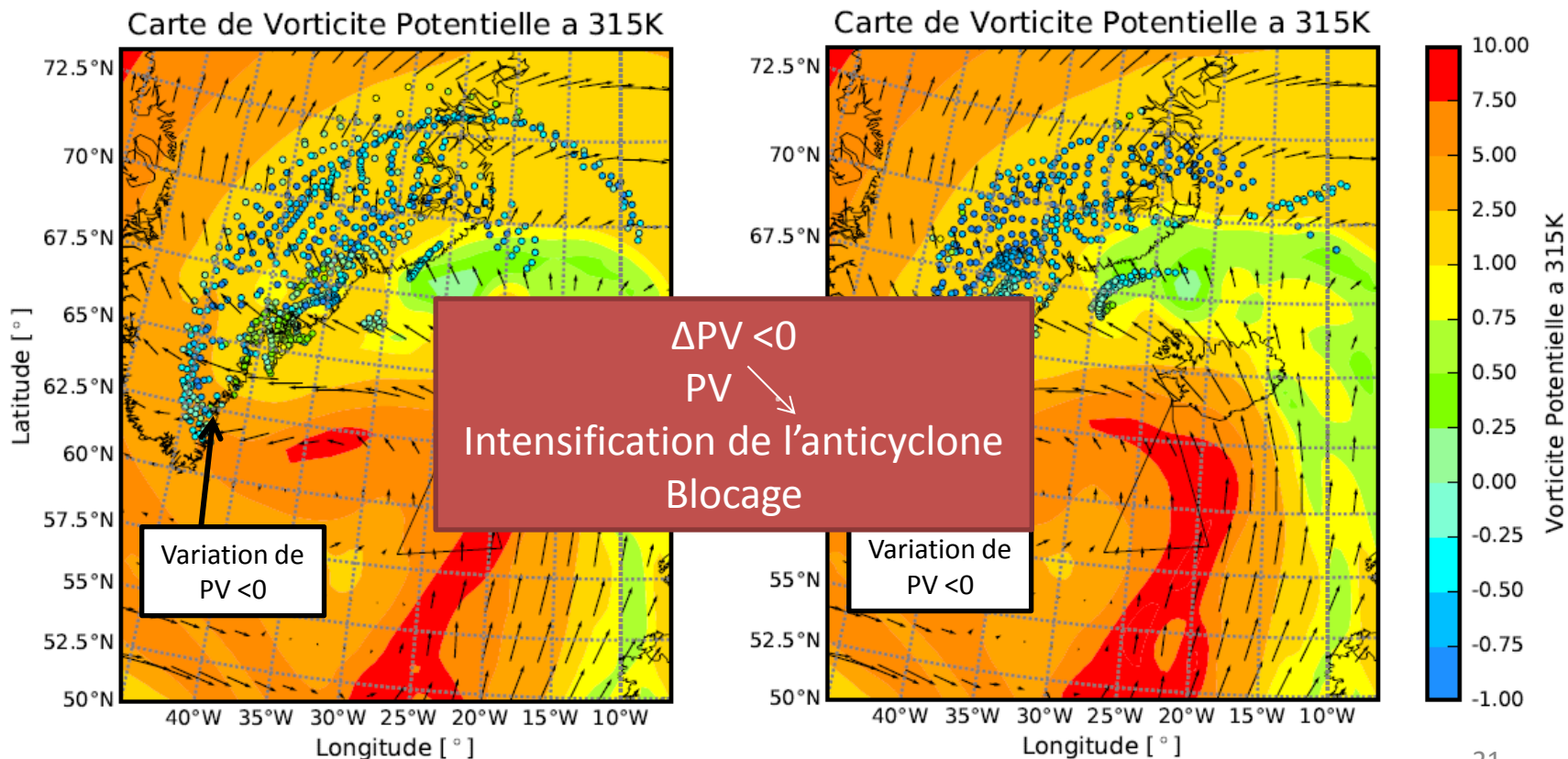
Carte de Vorticite Potentielle a 315K



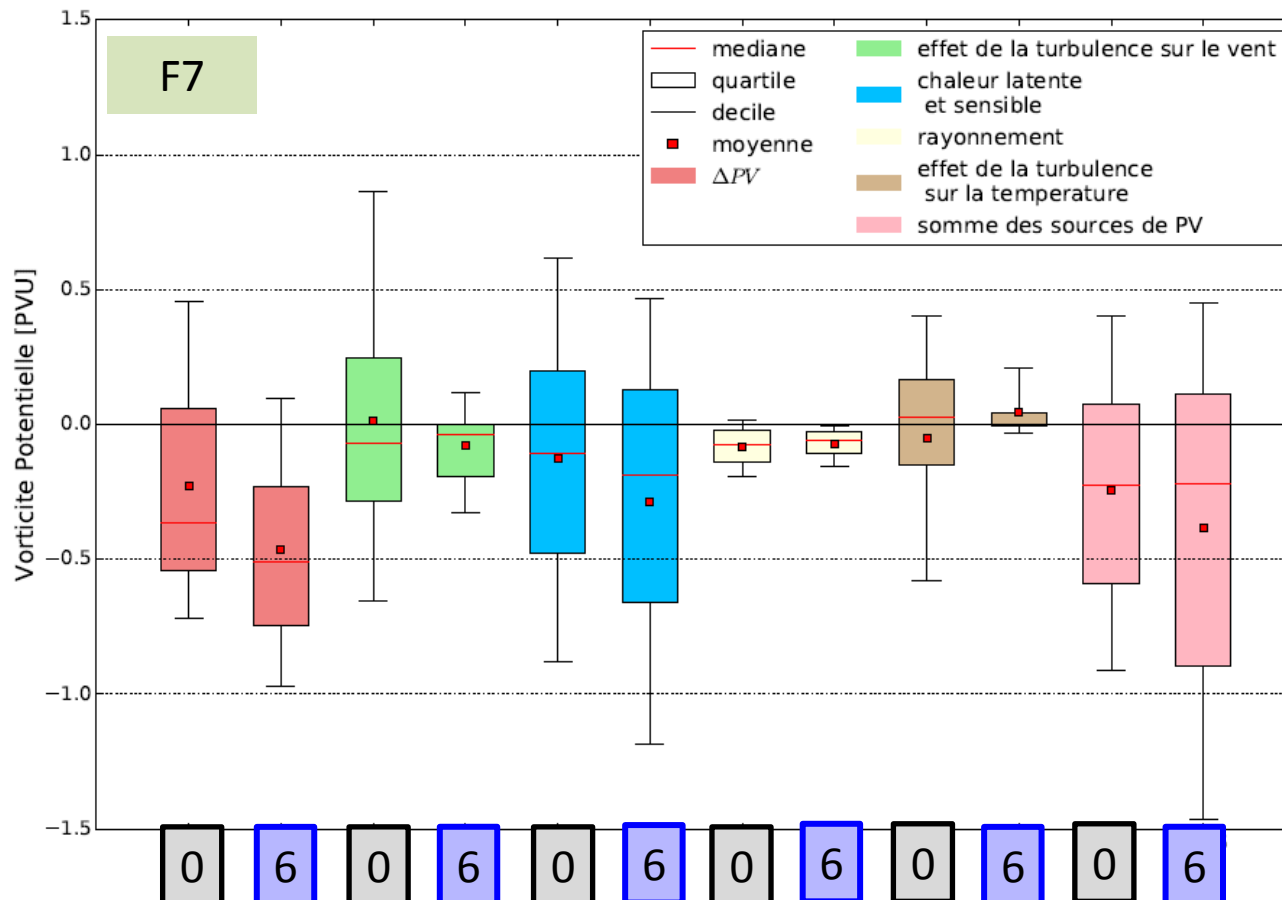
Carte de Vorticite Potentielle a 315K



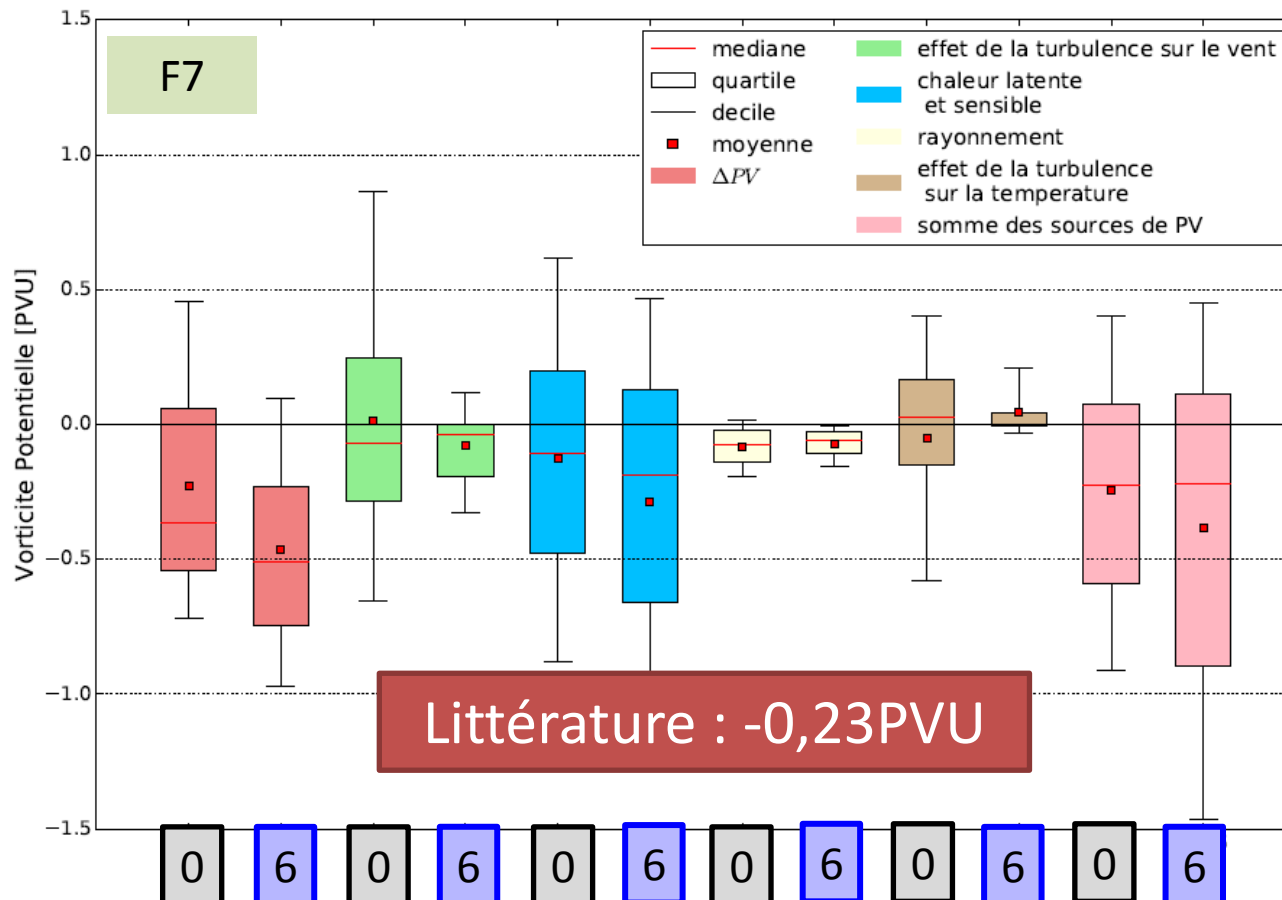
Variation de PV au bout de 24h



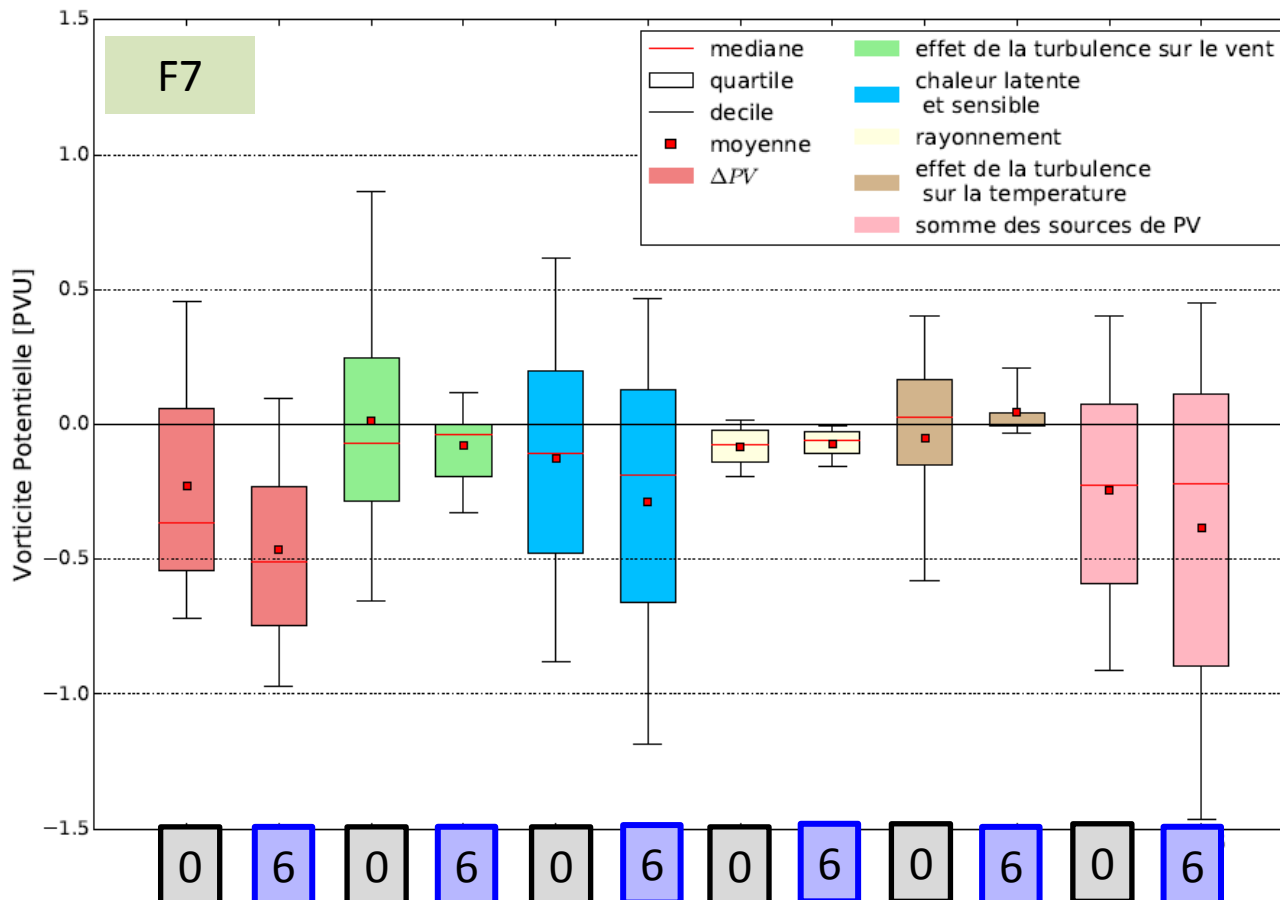
Distribution de PV



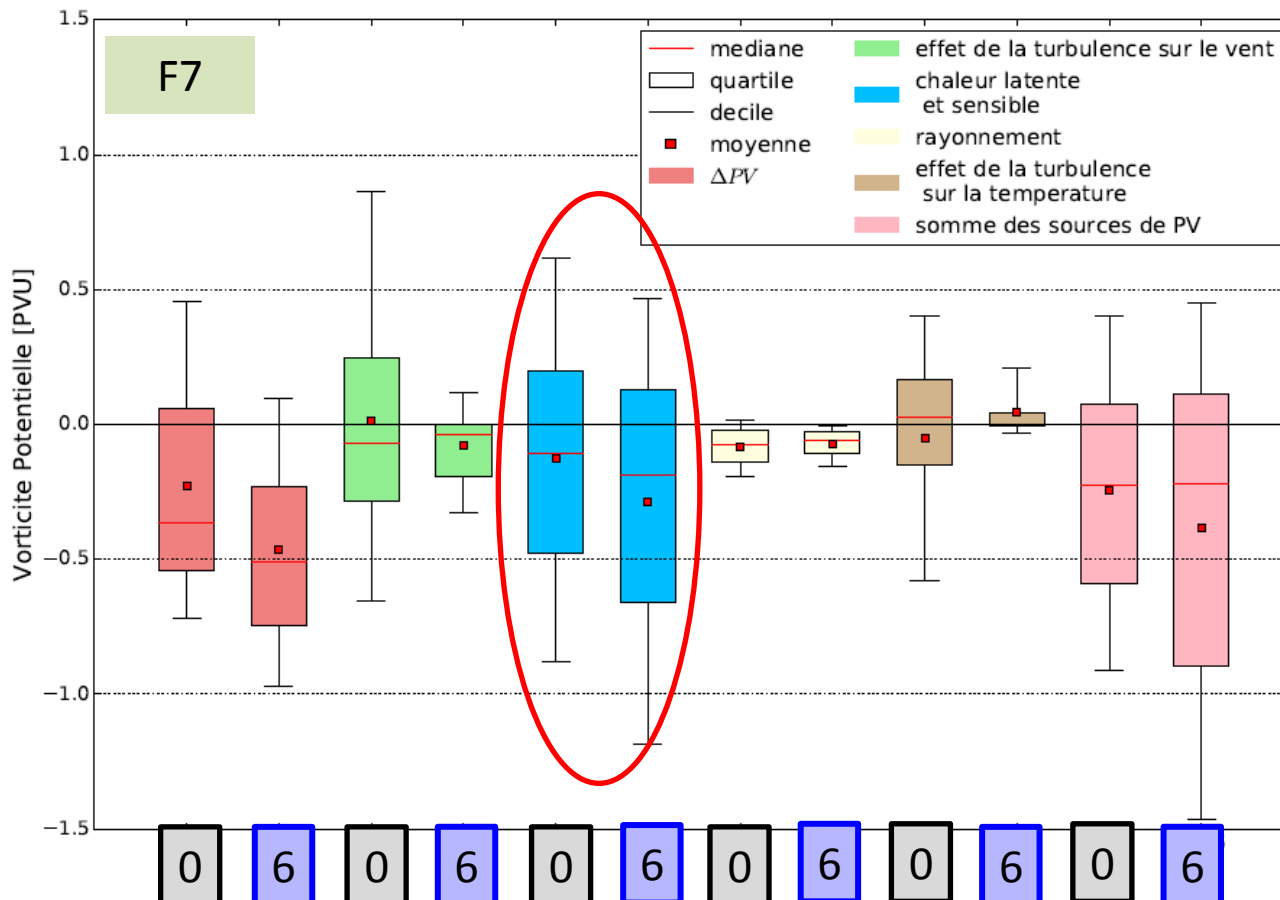
Distribution de PV



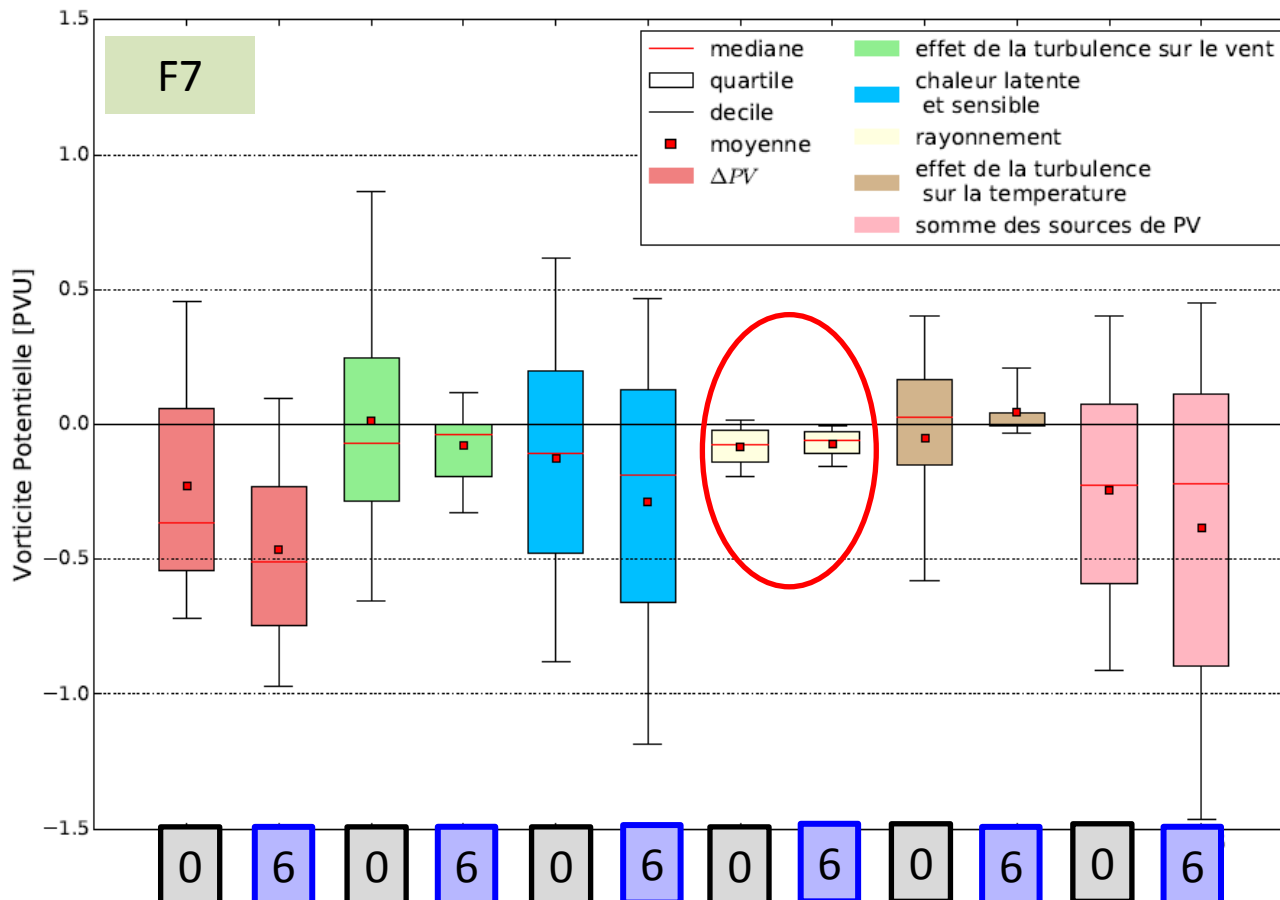
Distribution de PV



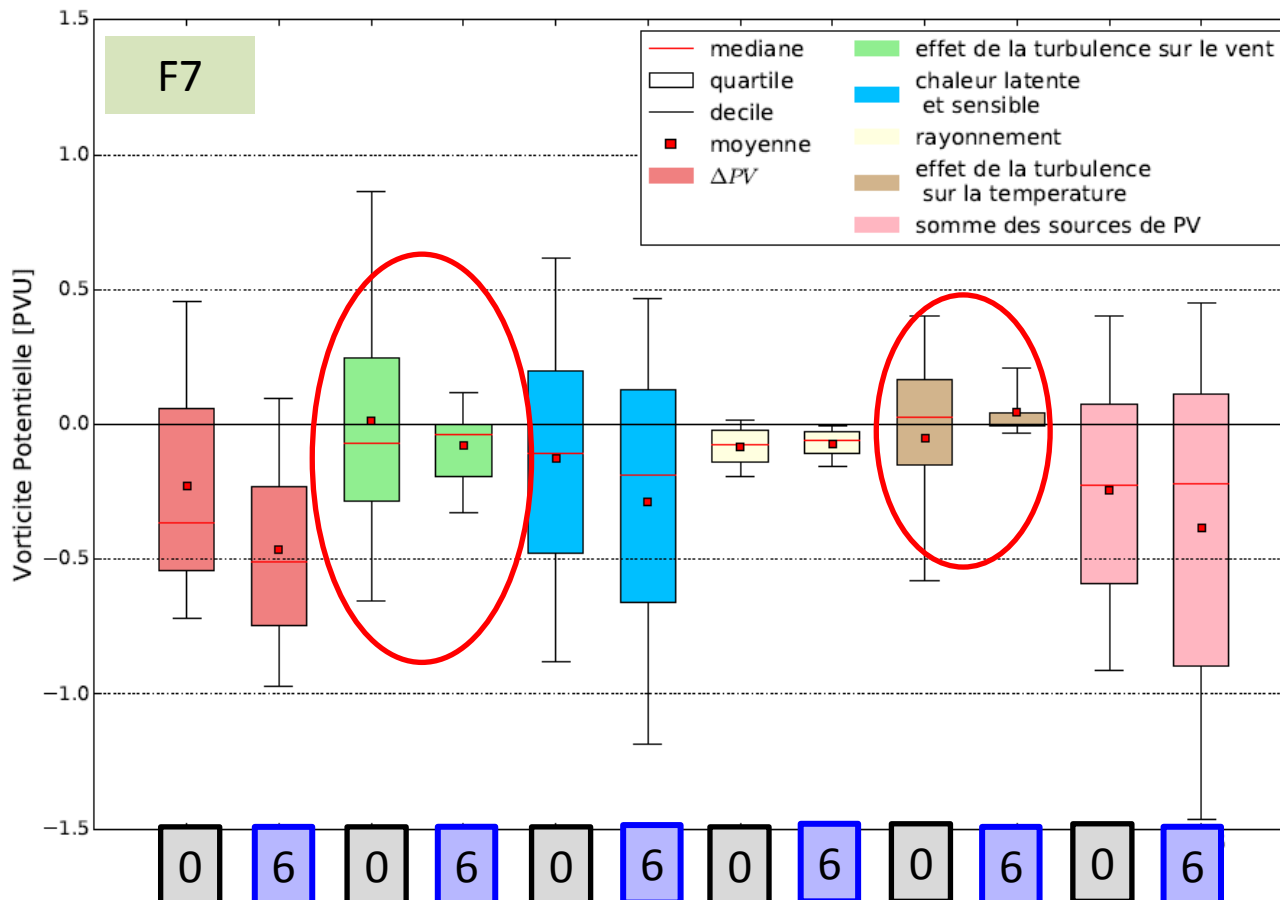
Distribution de PV



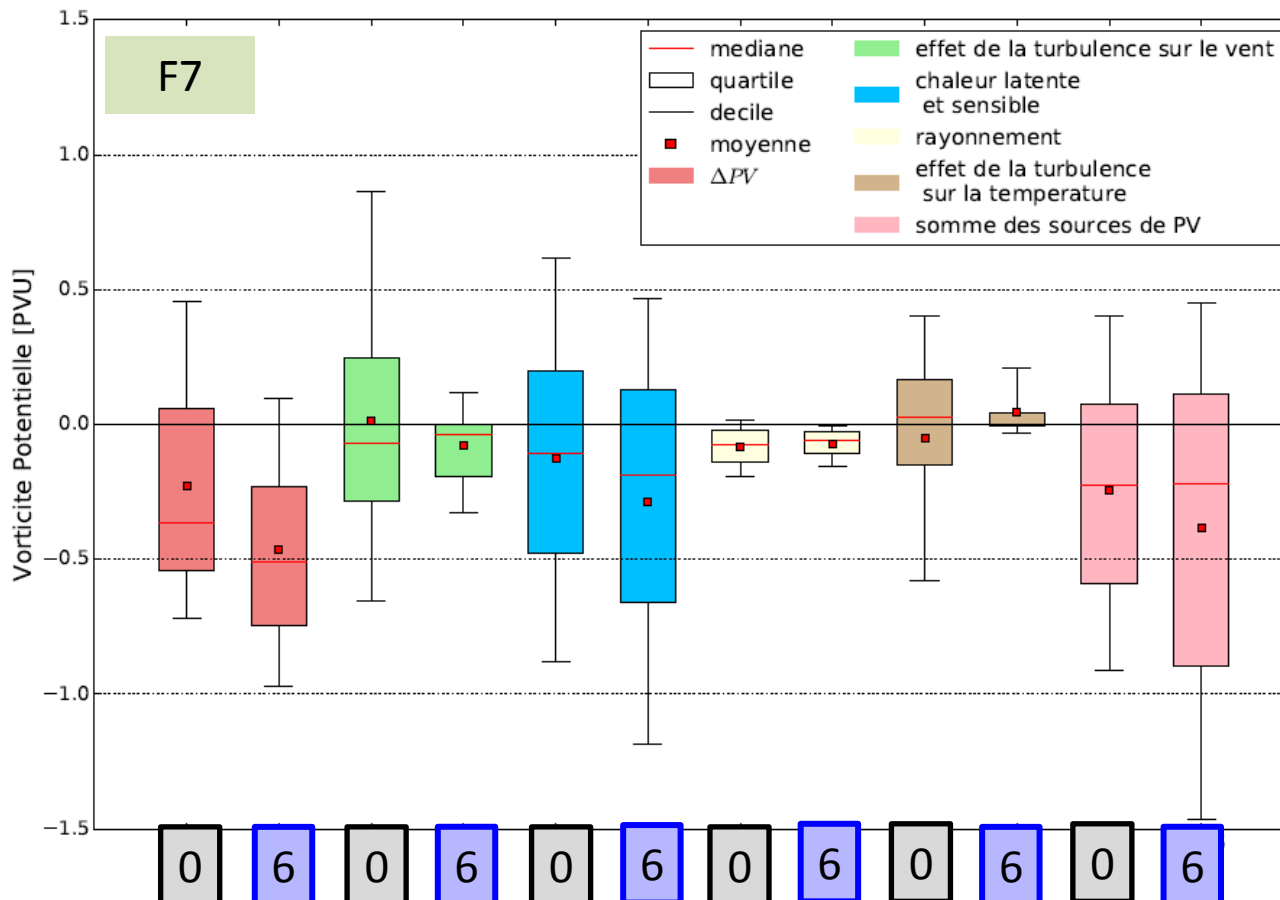
Distribution de PV



Distribution de PV



Distribution de PV

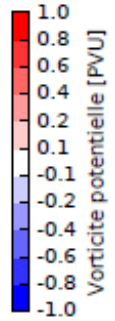
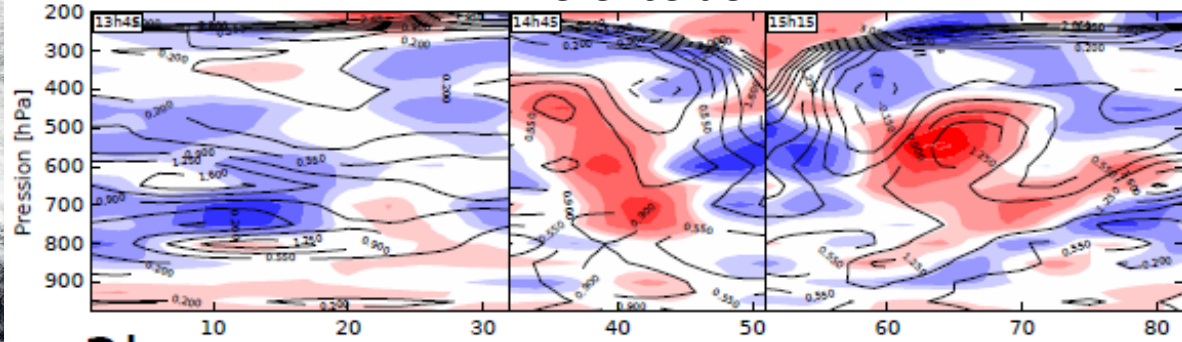


Différence de PV négatif



2a

Différence de PV



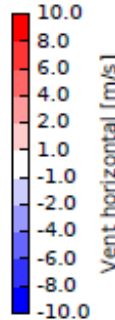
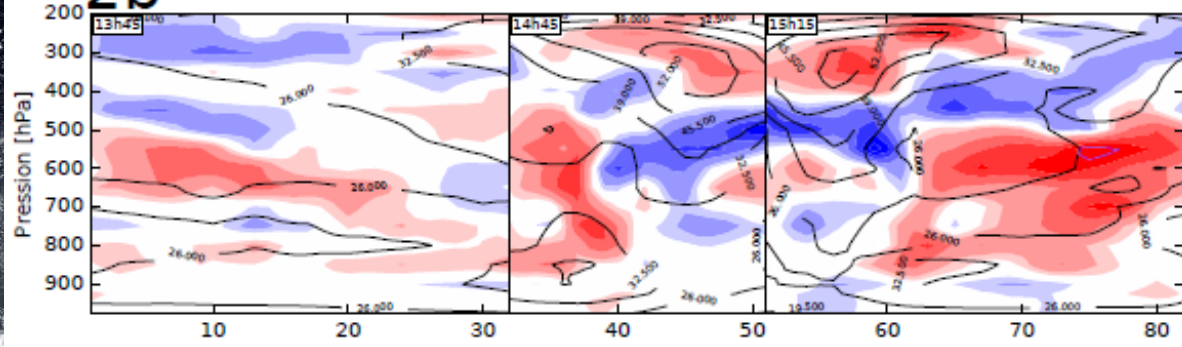
Run0 – Run6

Run0 > Run6

Run6 > Run0

2b

Différence de vent



$PV \propto \text{grad } vent$

Différence de vent

Conclusion

- Variation de PV < 0 → intensification de l'anticyclone
- Cohérence entre les deux modèles
- Chaleur latente et sensible : Impact principal
- Rayonnement : Impact plus faible
- Différence dans la distribution verticale de PV négatif
 - Run0 : haute altitude
 - Run6 : milieu de troposphère

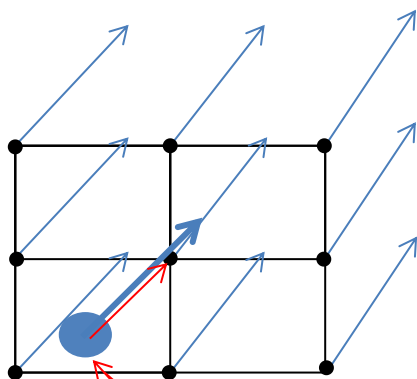
Perspectives

- Modification du critère des trajectoires WCB
- Amélioration du modèle de trajectographie :
 - Augmentation du degré d'interpolation
- Etendre l'approche à d'autres cas de la campagne :
 - Etude des dépressions du 04 et 05 octobre 2016
- Autres schémas de convection : PCMT amélioré, Tiedtke,...

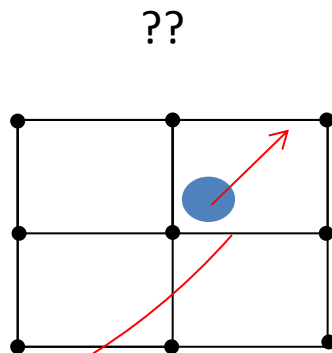


Merci pour votre attention

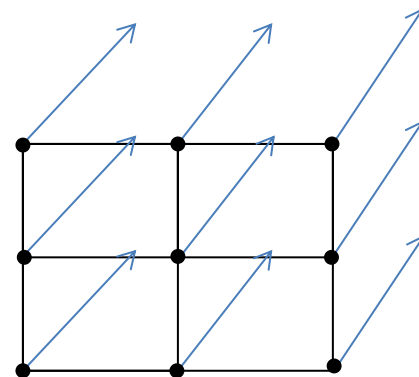
Modèle de trajectoires



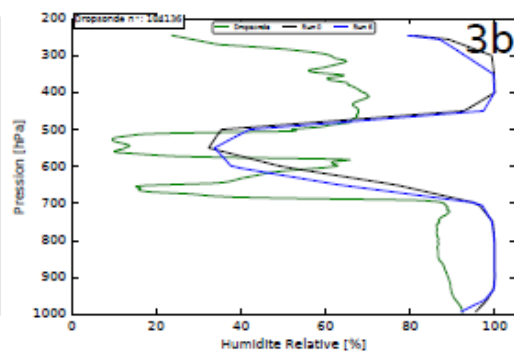
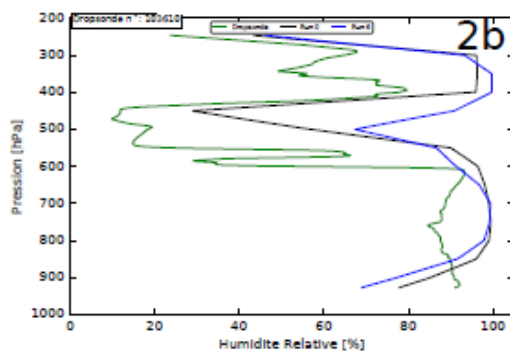
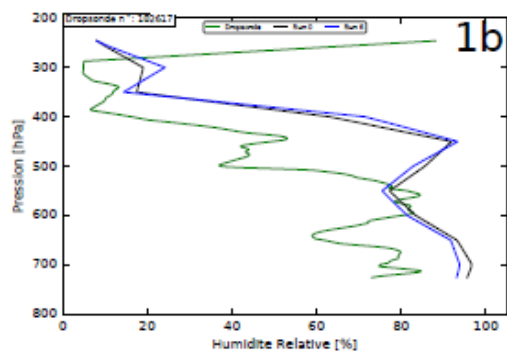
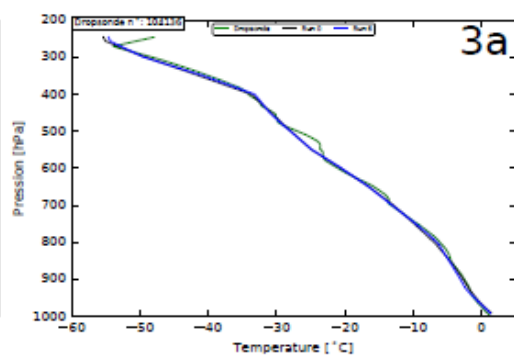
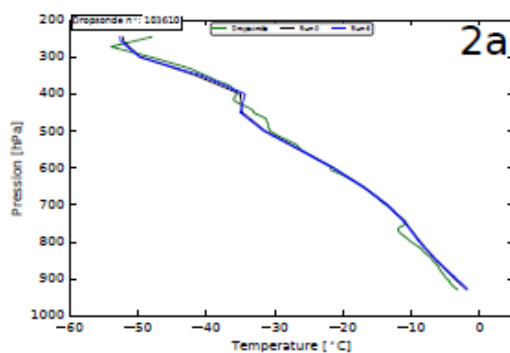
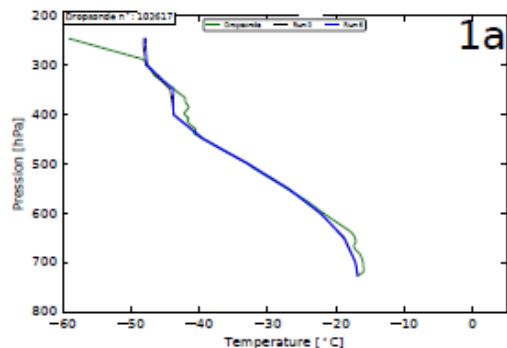
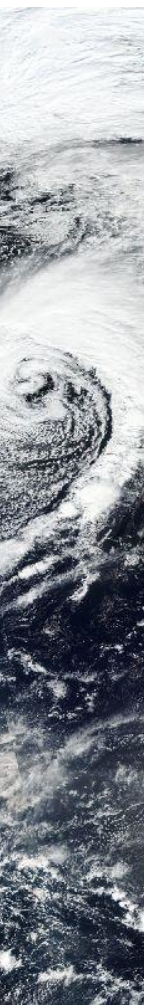
A t=0



A t=0,5

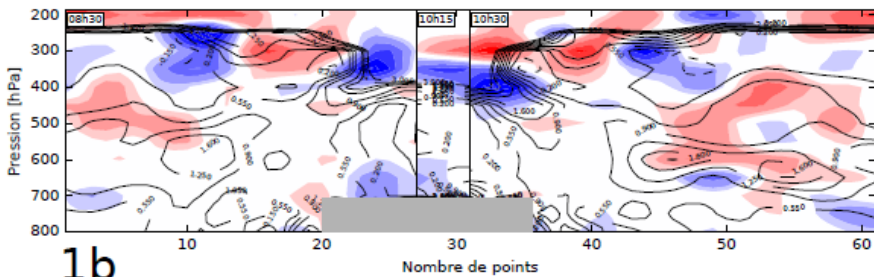


A t=1

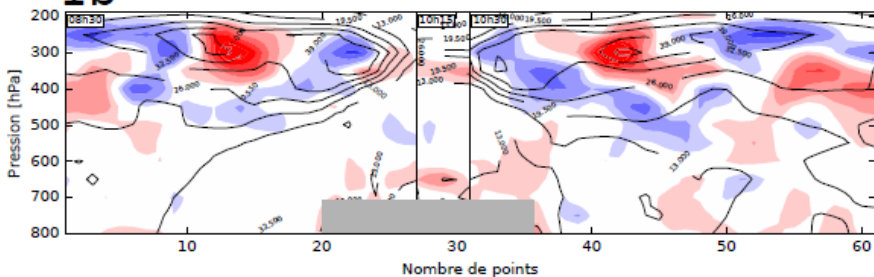




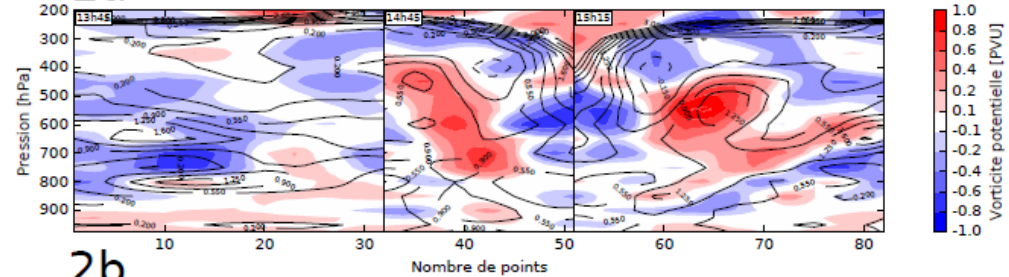
1a



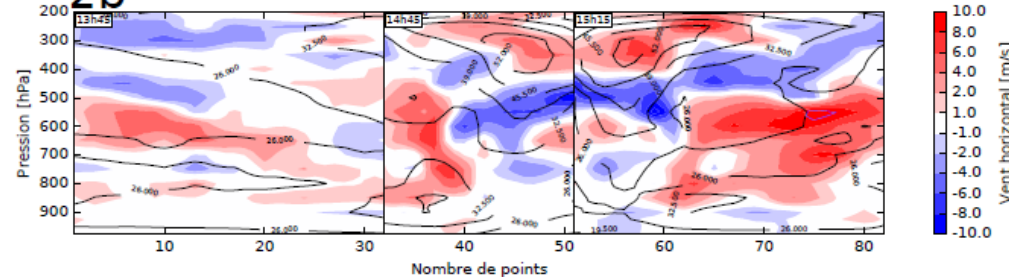
1b



2a

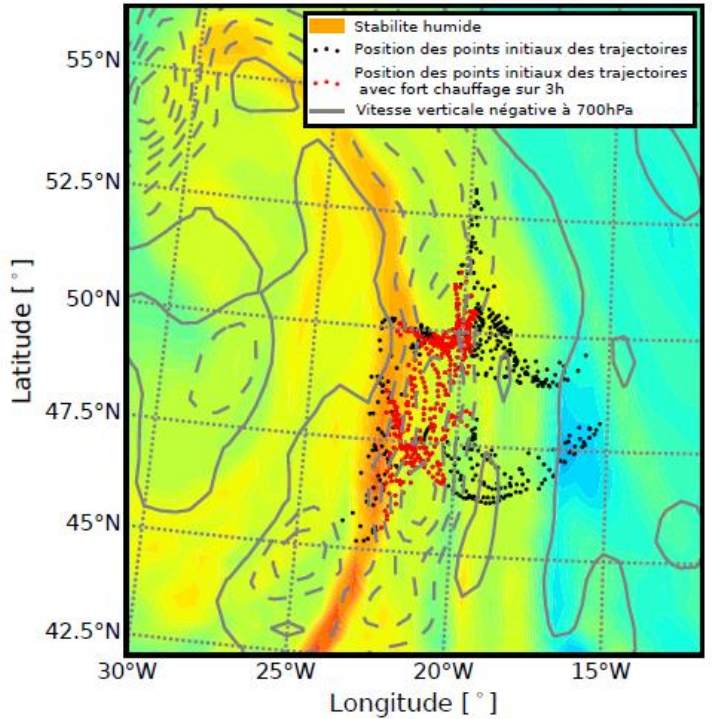


2b

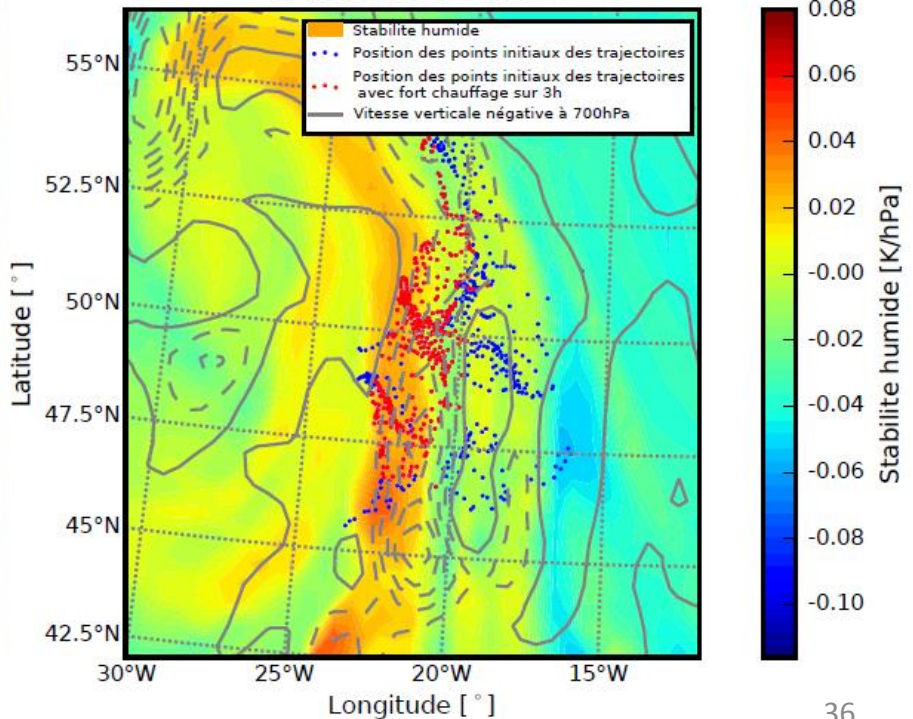


Stabilité humide

Carte de Stabilité humide avec la position des points initiaux des trajectoires a 700.0hPa a 2h45

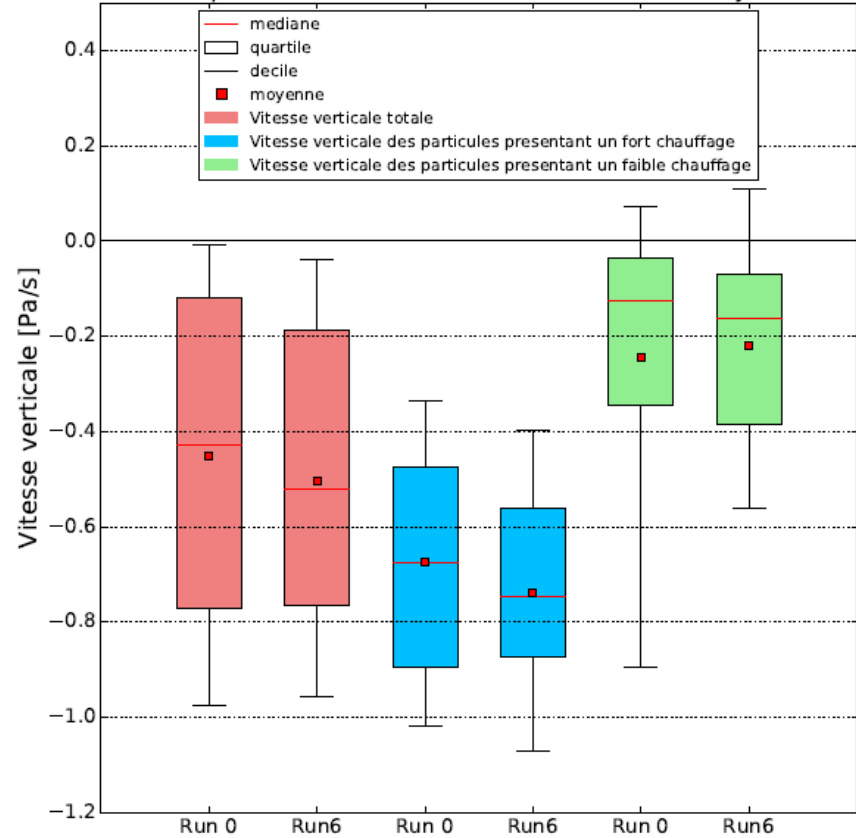


Carte de Stabilité humide avec la position des points initiaux des trajectoires a 700.0hPa a 2h45



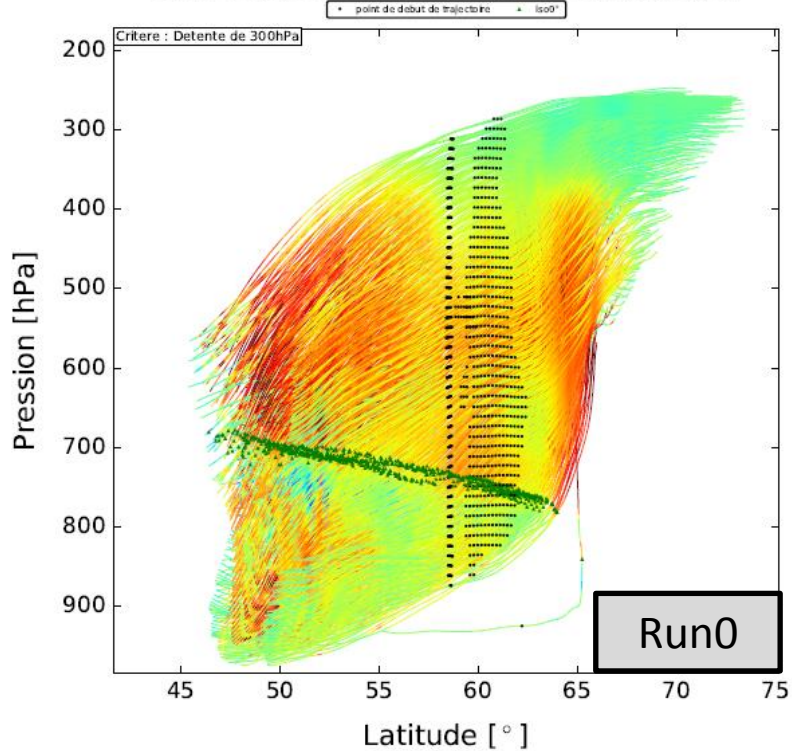
Vitesse verticale

Statistiques de la vitesse verticale en debut de trajectoires

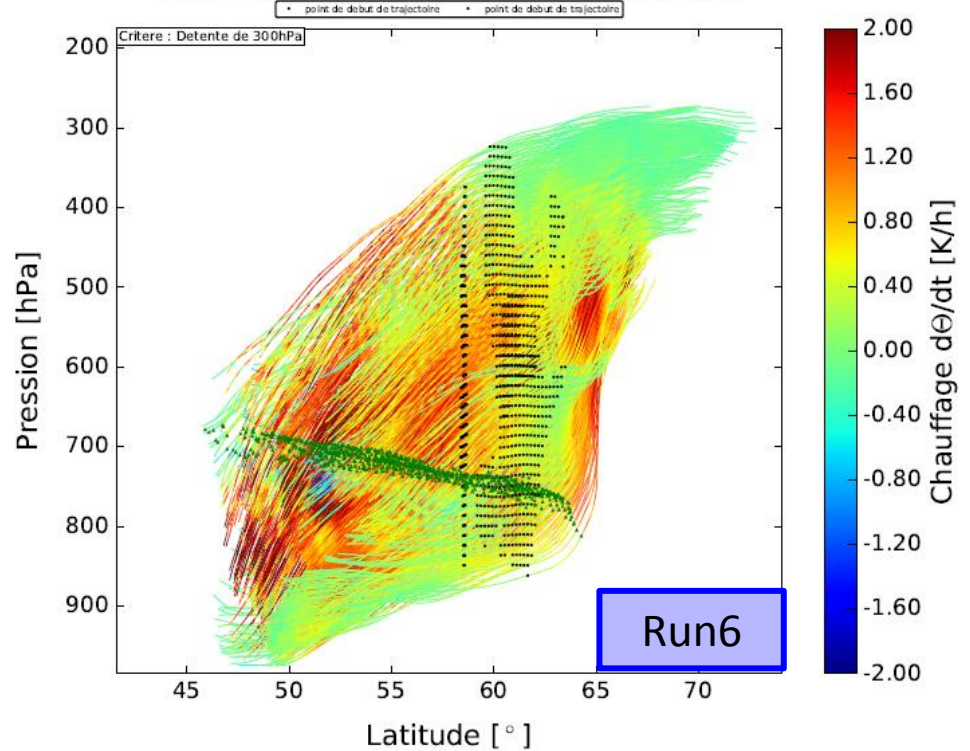


Chauffage total

Coupe verticale des trajectoires des points d'ensemencement



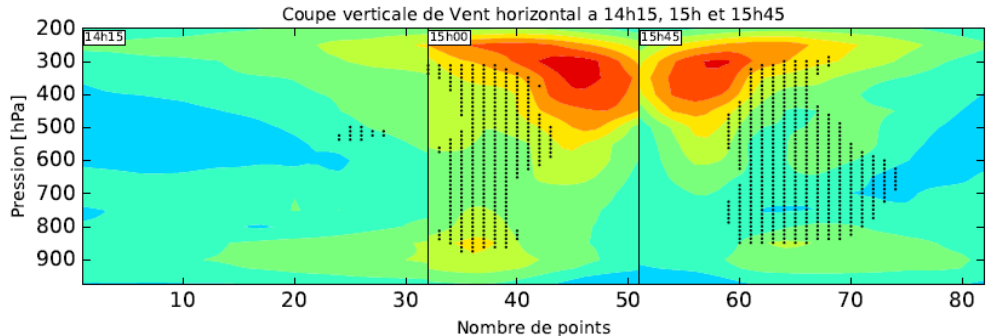
Coupe verticale des trajectoires des points d'ensemencement



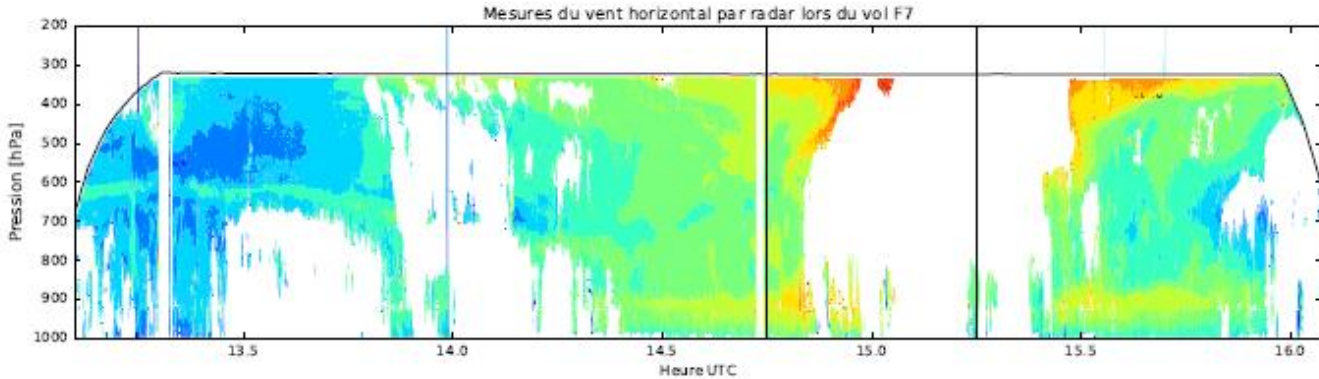
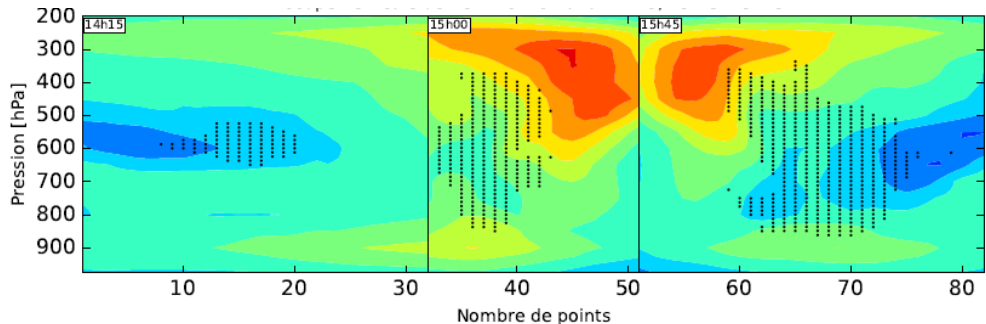


Vol F7

Run0



Run6

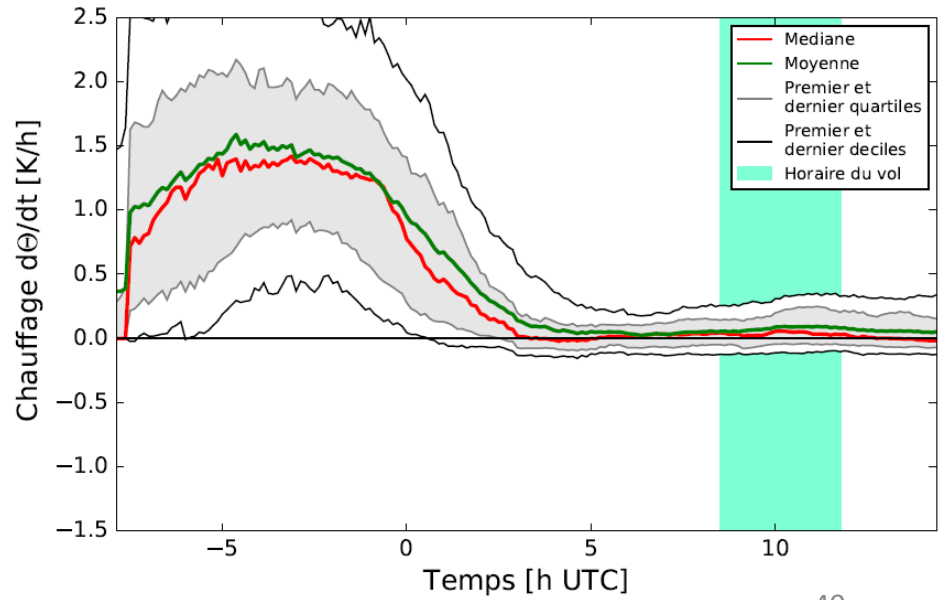
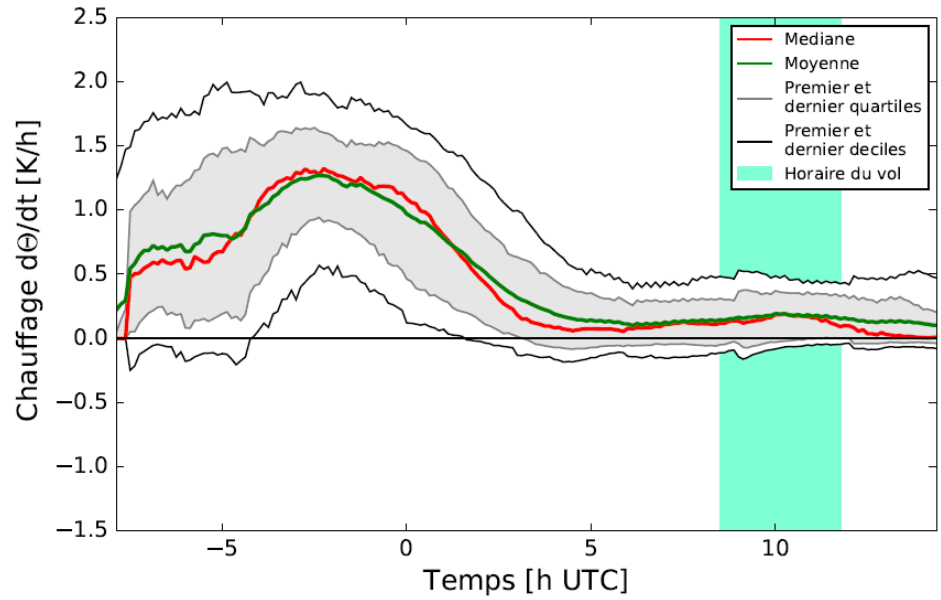




Chauffage

Run0

Run6

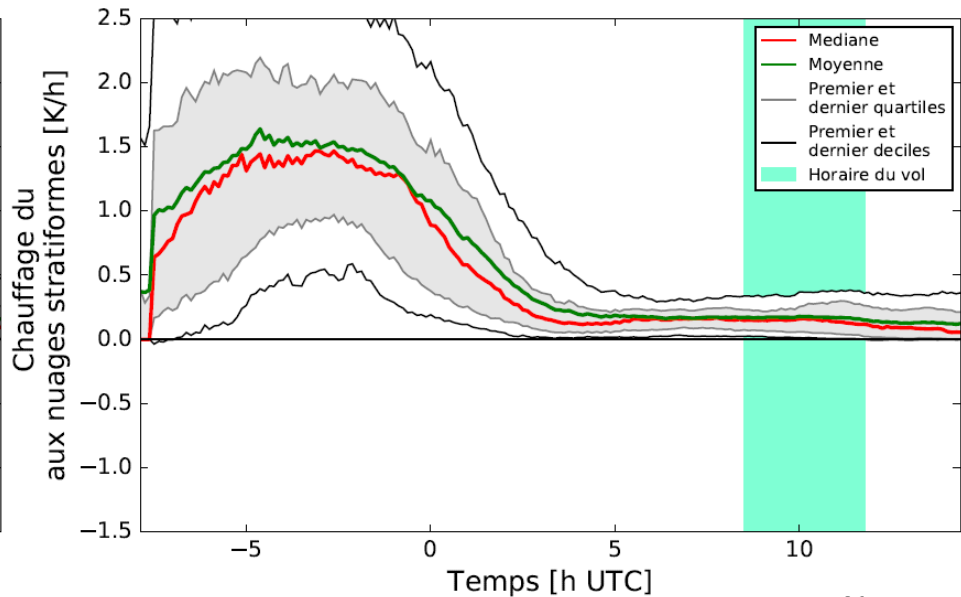
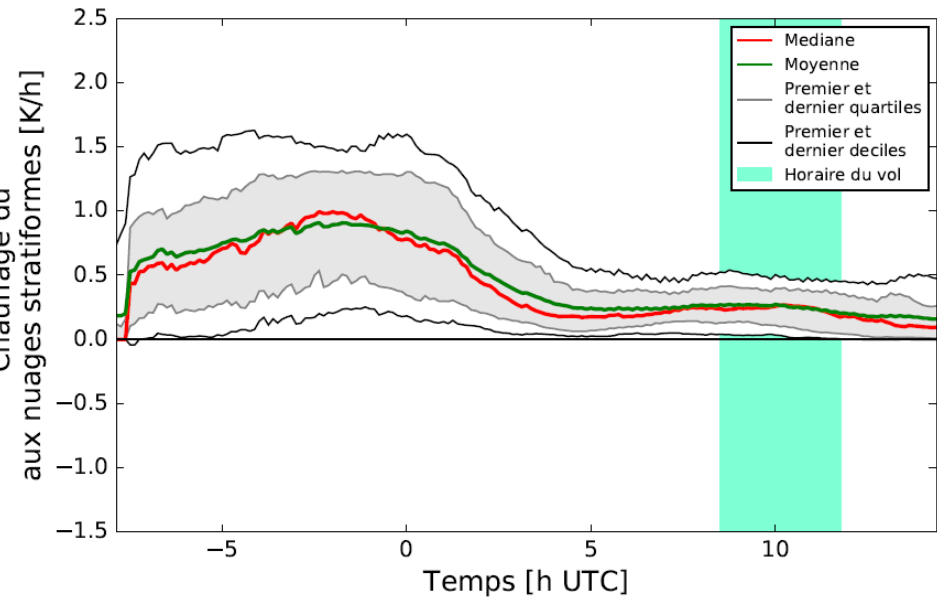


Chauffage stratiforme



Run0

Run6

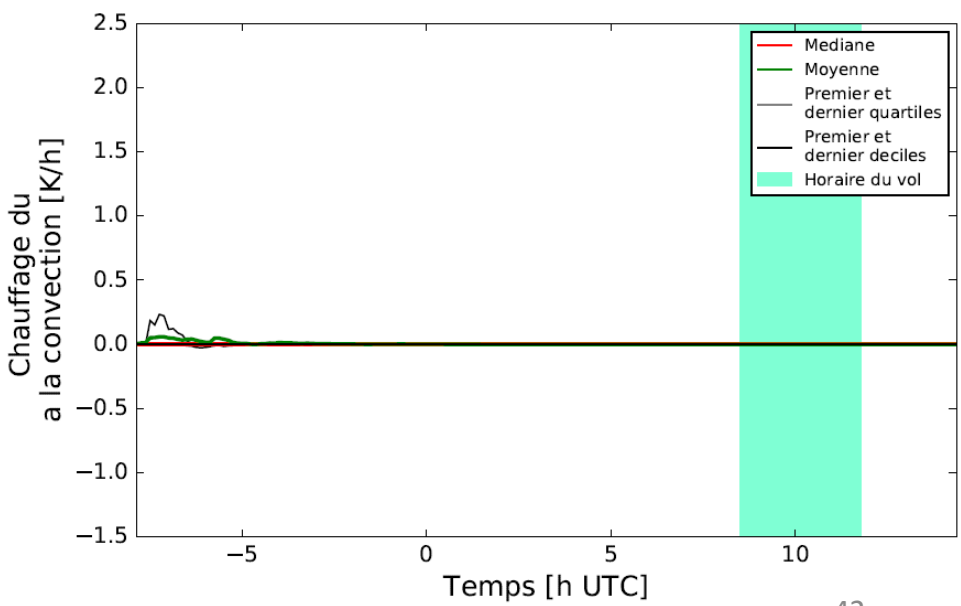
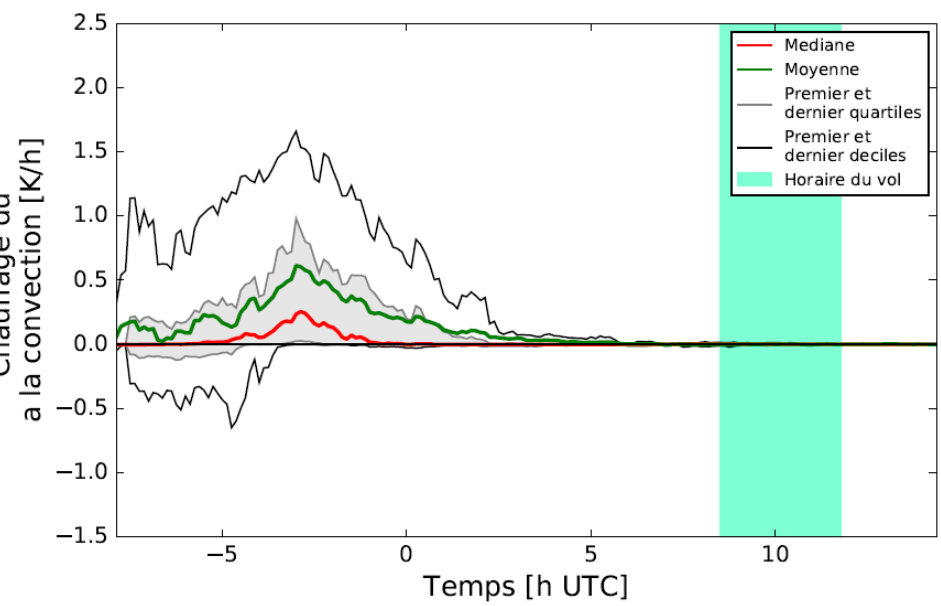


Chauffage convectif



Run0

Run6

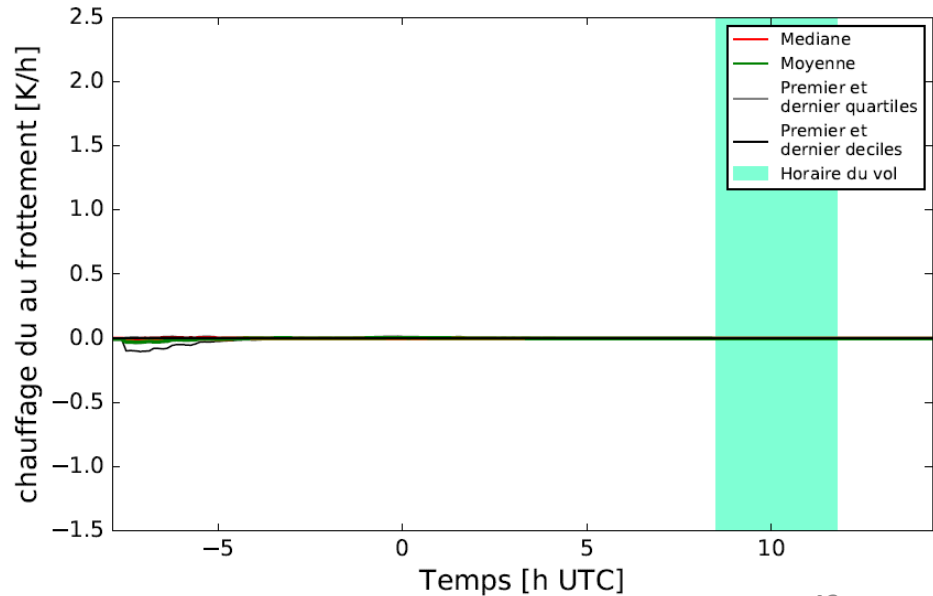
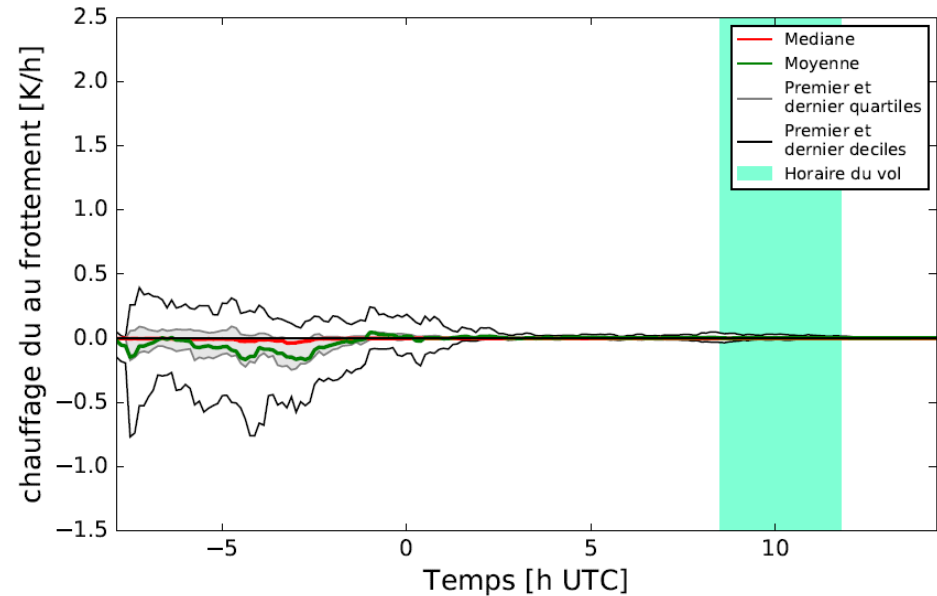




Turbulence

Run0

Run6

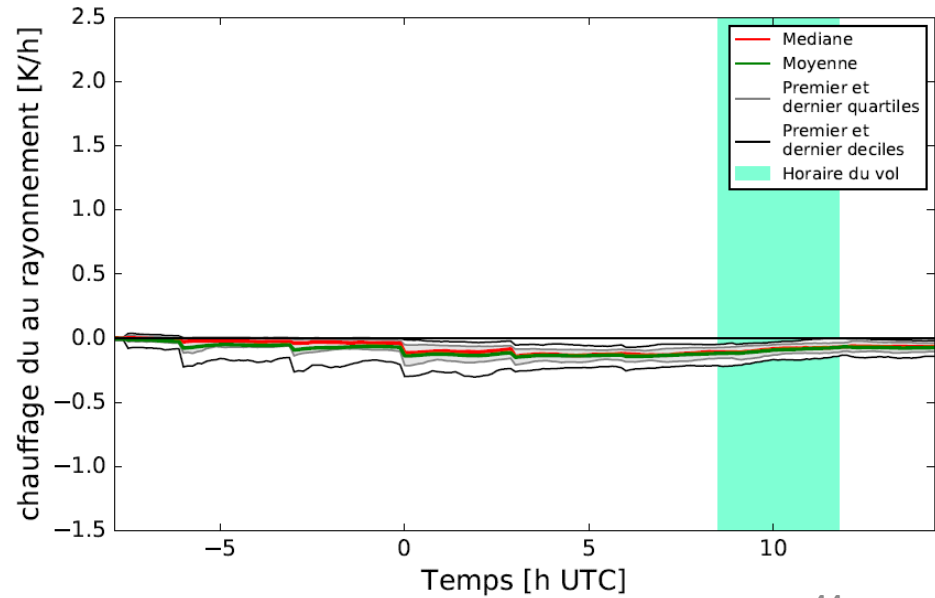
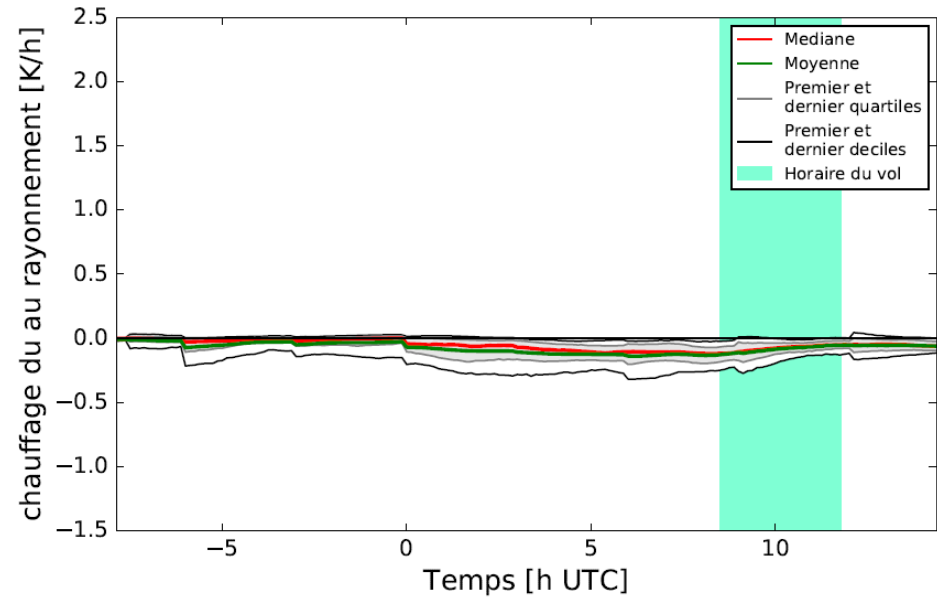




Rayonnement

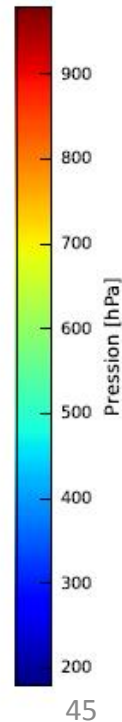
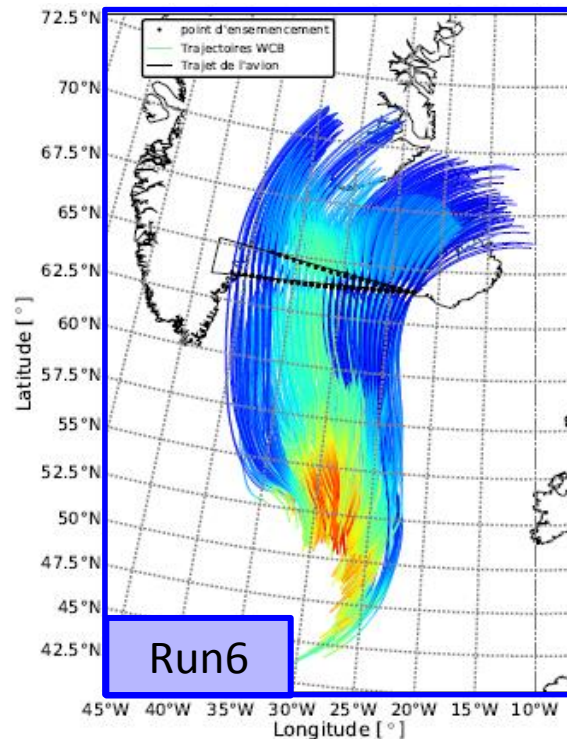
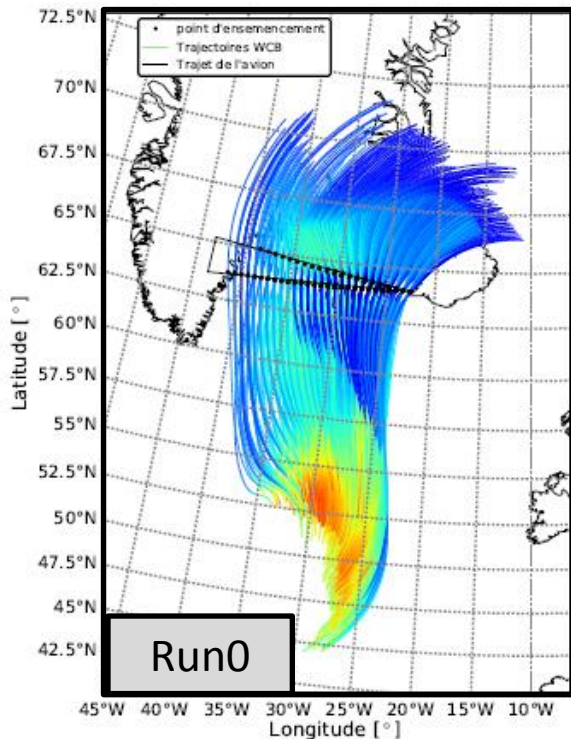
Run0

Run6

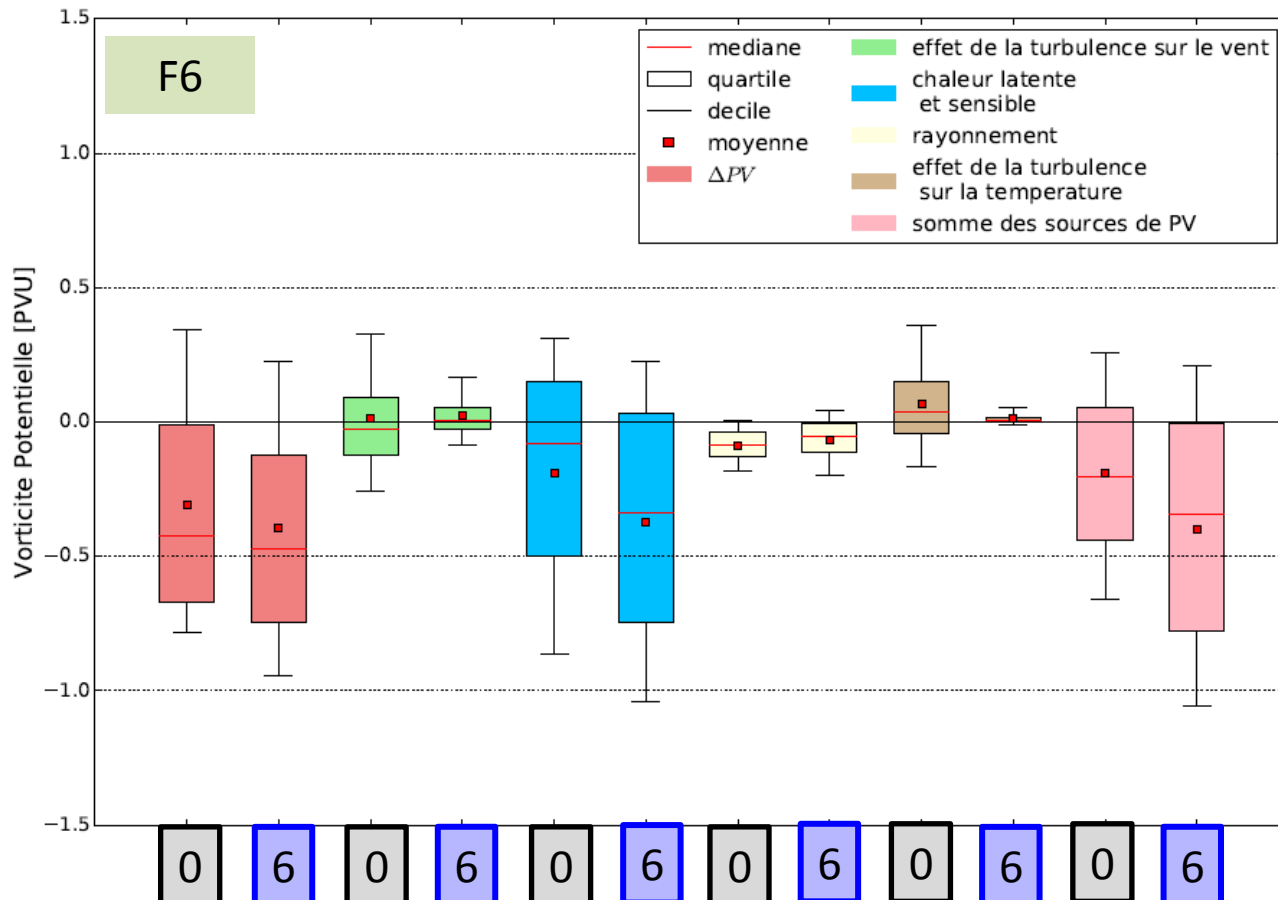


Warm Conveyor Belt – vol F6

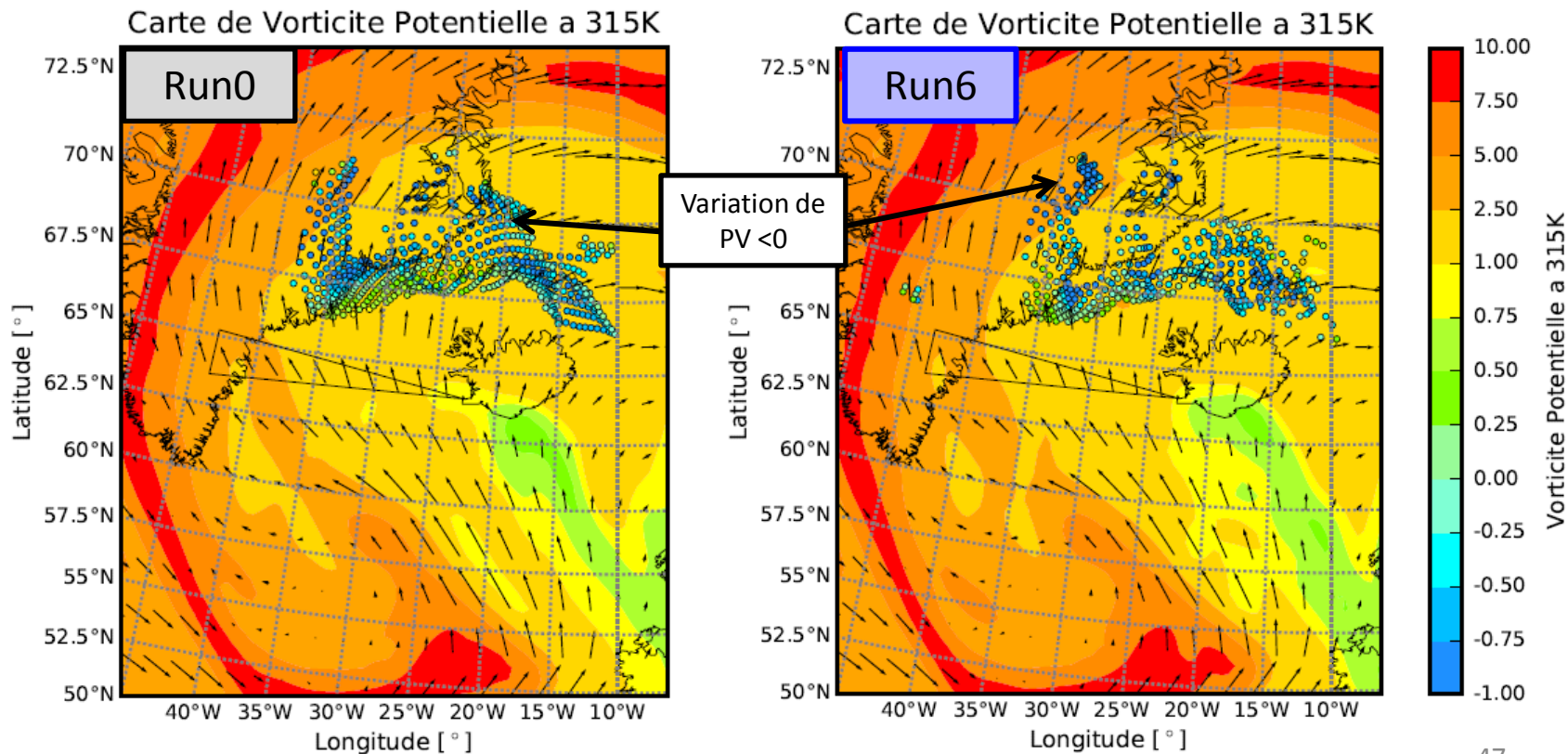
Critère : -300 hPa en 24h



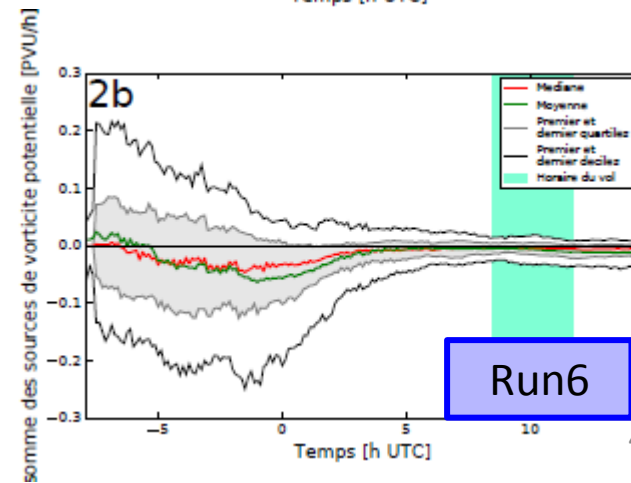
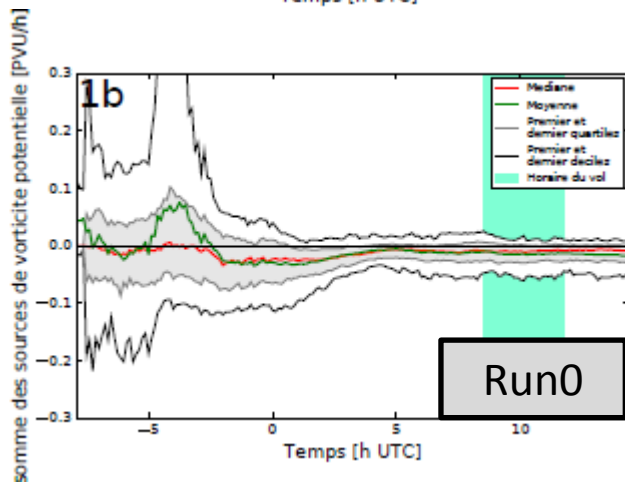
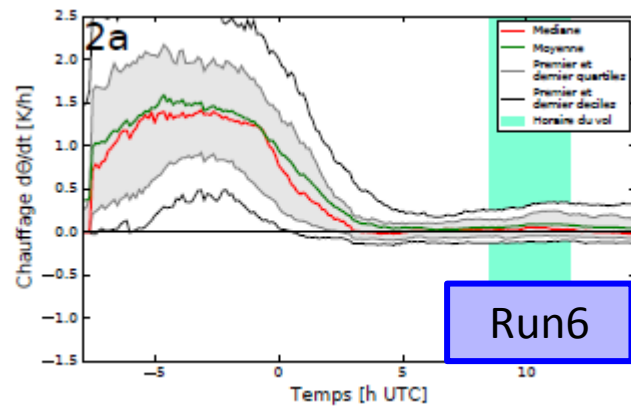
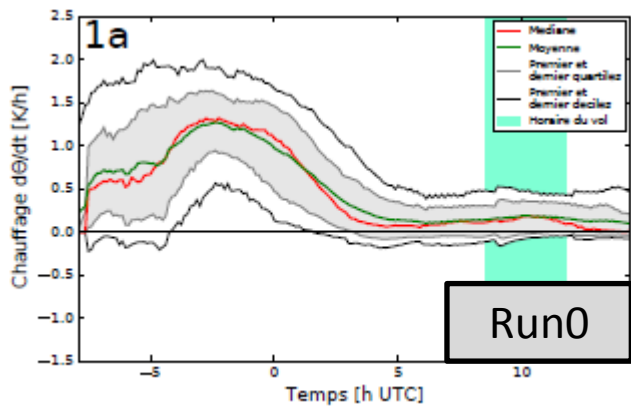
Distribution de PV



Variation de PV au bout de 24h



Effet du chauffage sur le PV



Validation du modèle de trajectoires : $\int \dot{\theta} dt \approx \Delta\theta$

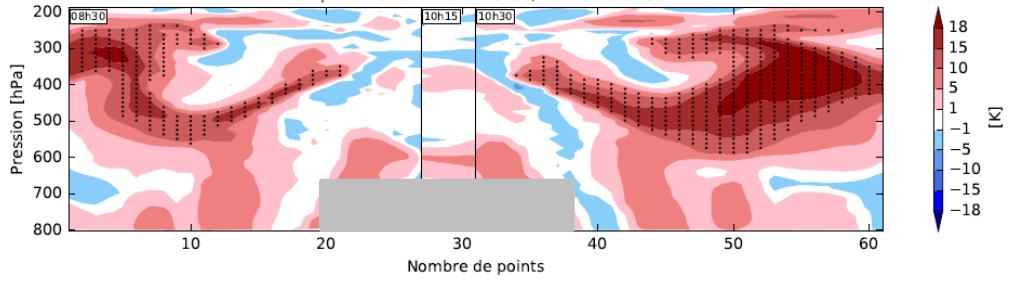
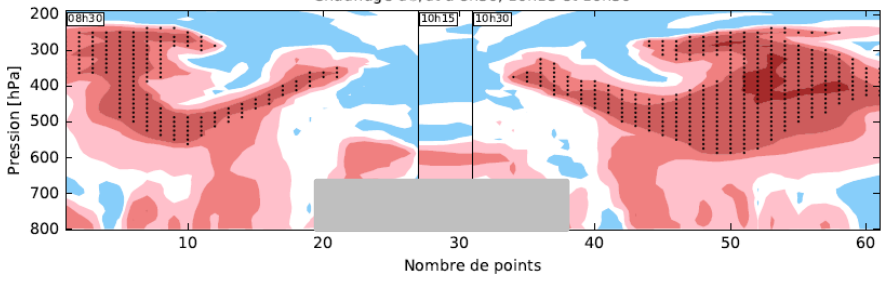
Run0

$$\int \dot{\theta} dt$$

$$\Delta\theta$$

Coupe verticale de l'integrale sur la trajectoire de Chauffage $d\theta/dt$ a 8h30, 10h15 et 10h30

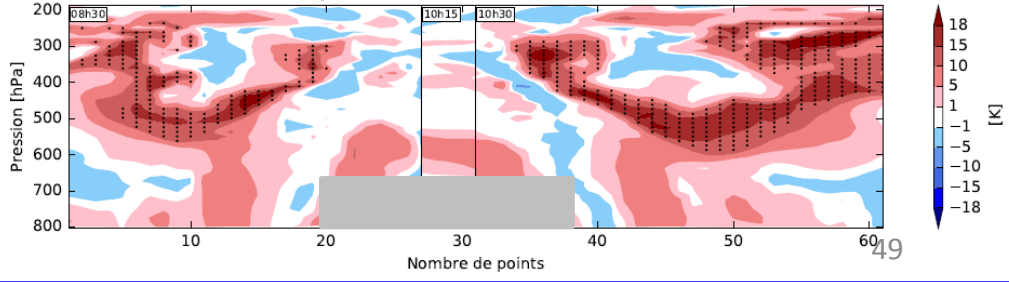
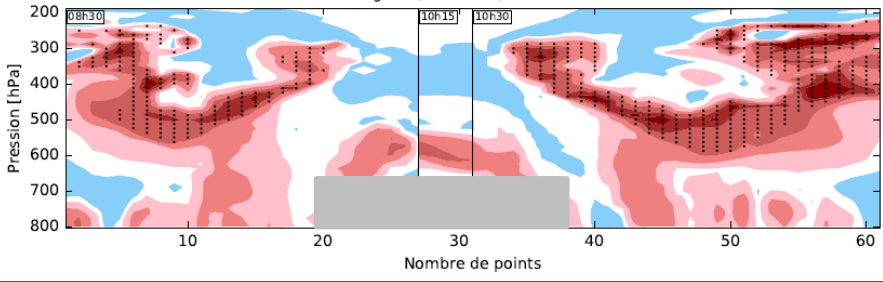
Coupe verticale de la difference entre le debut et la fin des trajectoires de Temperature Potentielle a 8h30, 10h15 et 10h30



Run6

Coupe verticale de l'integrale sur la trajectoire de Chauffage $d\theta/dt$ a 8h30, 10h15 et 10h30

Coupe verticale de la difference entre le debut et la fin des trajectoires de Temperature Potentielle a 8h30, 10h15 et 10h30

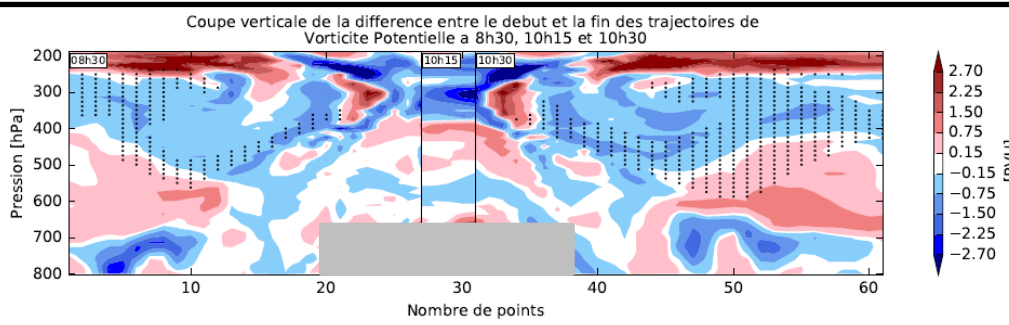
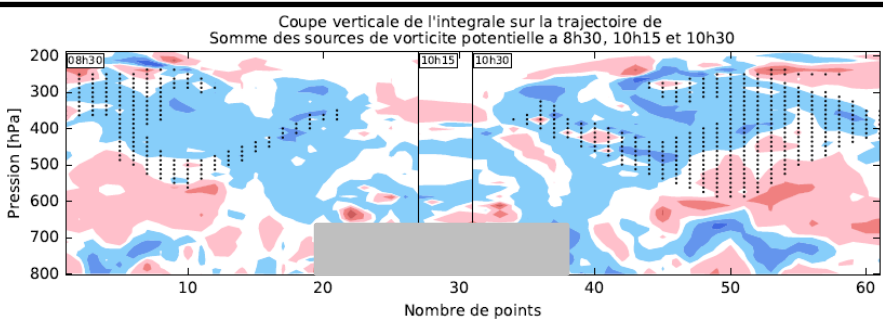


Validation du modèle de trajectoires : $\int \dot{P}V dt \approx \Delta PV$

Run0

$$\int \dot{P}V dt$$

ΔPV



Run6

